

# Mass modification of phi meson measured in 12-GeV p+A reaction at KEK-PS E325

Kyoto Univ., KEK<sub>A</sub>, RIKEN<sub>B</sub>, CNS Univ. of Tokyo<sub>C</sub>, ICEPP Univ. of Tokyo<sub>D</sub>, Tohoku Univ.<sub>E</sub>

F.Sakuma, J.Chiba<sub>A</sub>, H.En'yo<sub>B</sub>, Y.Fukao, H.Funahashi, H.Hamagaki<sub>C</sub>,  
M.Ieiri<sub>A</sub>, M.Ishino<sub>D</sub>, H.Kanda<sub>E</sub>, M.Kitaguchi, S.Mihara<sub>D</sub>, K.Miwa,  
T.Miyashita, T.Murakami, R.Muto<sub>B</sub>, M.Nakura, M.Naruki<sub>B</sub>, M.Nomachi<sub>A</sub>,  
K.Ozawa<sub>C</sub>, O.Sasaki<sub>A</sub>, H.D.Sato, M.Sekimoto<sub>A</sub>, T.Tabaru<sub>B</sub>,  
K.H.Tanaka<sub>A</sub>, M.Togawa, S.Yamada, S.Yokkaichi<sub>B</sub>, Y.Yoshimura

- Physics motivation

- E325 Setup

- Data analysis

- Mass shape analysis

- Nuclear size dependence of Cross-Section

- Summary

# Physics Motivation

## Quark Mass

bare mass  
 $m_u \doteq m_d \doteq 5 \text{ MeV}/c^2$   
 $m_s \doteq 150 \text{ MeV}/c^2$

*chiral symmetry restoration*  
↔  
*chiral symmetry braking*

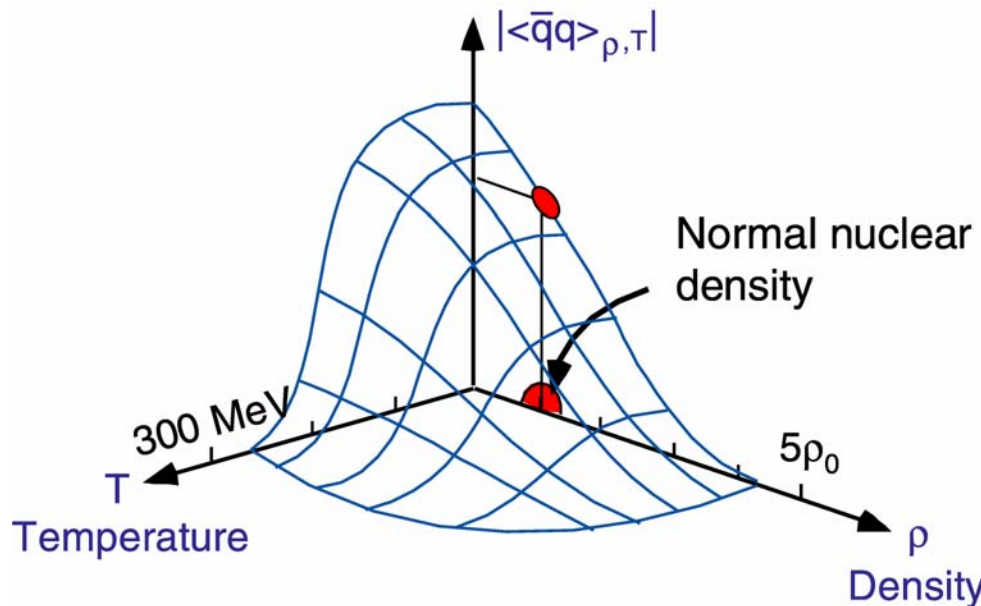
effective mass in QCD vacuum  
 $m_u \doteq m_d \doteq 300 \text{ MeV}/c^2$   
 $m_s \doteq 500 \text{ MeV}/c^2$

How we can detect such a quark mass change?

*Partial chiral symmetry restoration under normal nuclear density*



**Vector Meson**



# Vector Meson

## $\phi$ meson

- mass decreases  
 **$\sim 20\text{-}40\text{MeV}/c^2$**
- narrow decay width ( $\Gamma=4.3\text{MeV}/c^2$ )  
⇒ **sensitive to the mass spectrum change**
- small decay Q value ( $Q_{K^+K^-}=32\text{MeV}/c^2$ )  
⇒ **the branching ratio is sensitive to  $\phi$  (or K) meson modification**

### For example

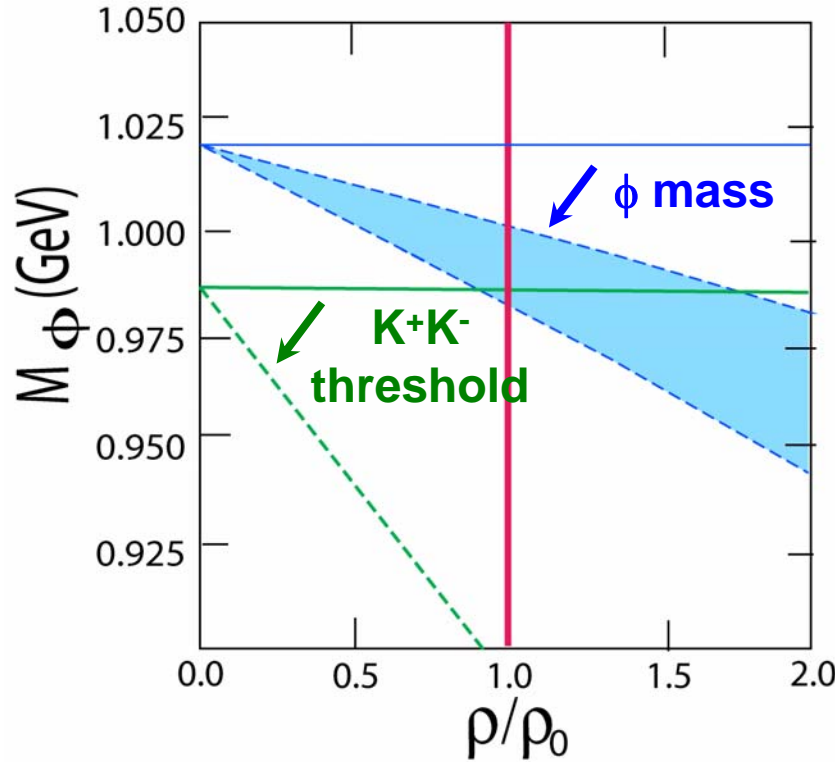
- $\phi$  mass decreases  
→  $\Gamma_{K^+K^-}$  becomes small
- K mass decreases  
→  $\Gamma_{K^+K^-}$  becomes large

### Important points for $\phi$ meson modification

- ① Invariant mass spectrum, with good mass resolution
- ② Nuclear size dependence of the branching ratio between the  $e^+e^-$  and  $K^+K^-$  channels

### predictions of vector meson modification in medium

Brown,Rho(1991), Hatsuda,Lee(1992),  
Klinge,Keiser,Weise(1997),etc.



$\rho_0$ :normal nuclear density

$\phi$  : T.Hatsuda, S.H.Lee,  
Phys. Rev. C46(1992)R34.

K : H.Fujii, T.Tatsumi,  
PTPS 120(1995)289.

# KEK-PS E325

## Measurements

### Invariant Mass of $e^+e^-$ , $K^+K^-$

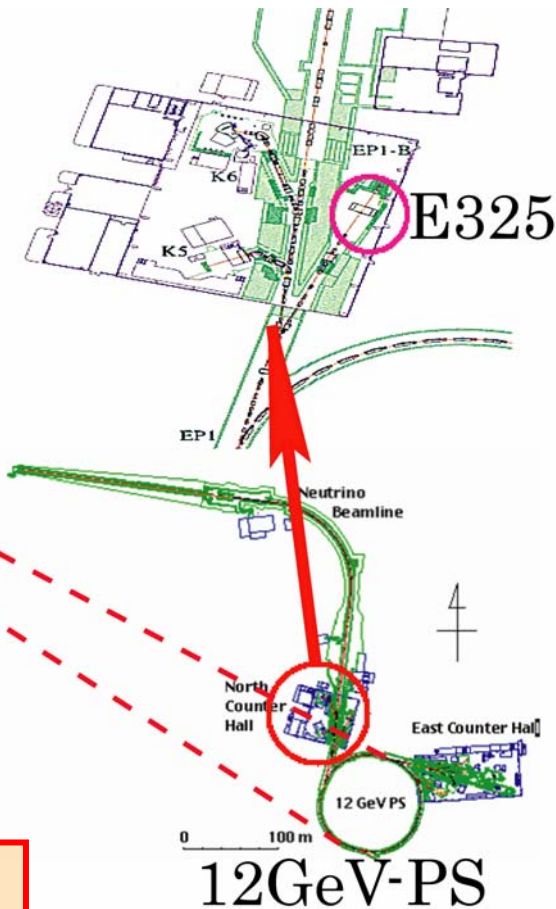
in  $12\text{GeV} p+A \rightarrow \rho, \omega, \phi + X$  reactions

slowly moving vector mesons ( $p_{\text{lab}} \sim 2\text{GeV}/c$ )

**large probability  
to decay inside a nucleus**



KEK



## Beam

Primary proton beam  
( $\sim 10^9/\text{spill}/1.8\text{s}$ )

## Target

Very thin targets  
e.g. 0.4% radiation length &  
0.2% interaction length for C-target

**A combination of very thin targets with high intensity beam is very important to reduce the background from  $\gamma$  conversion.**

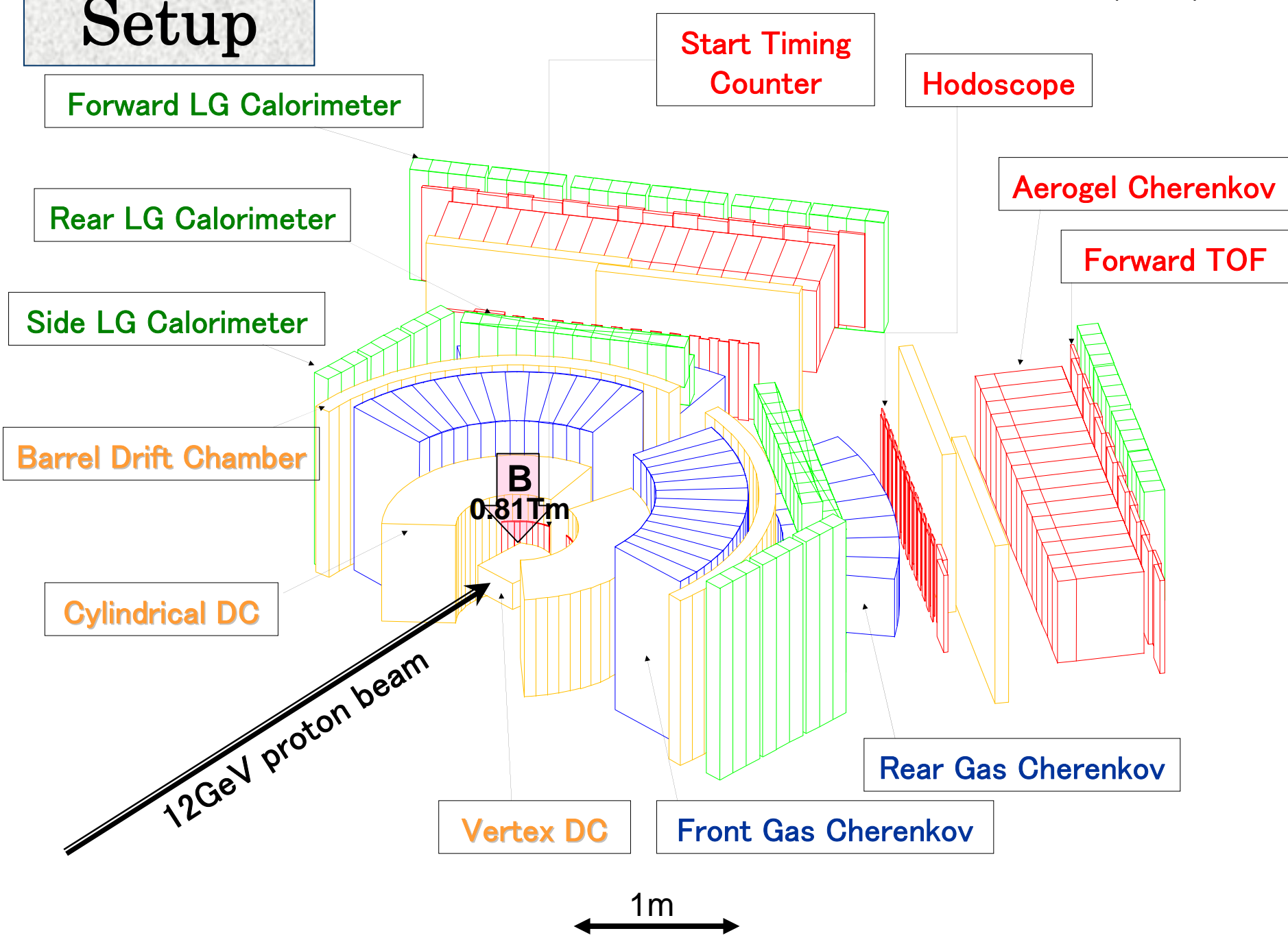
# History

$$\phi \rightarrow K^+ K^-$$

$$\begin{array}{l} \omega \rightarrow e^+ e^- \\ \phi \rightarrow e^+ e^- \end{array}$$

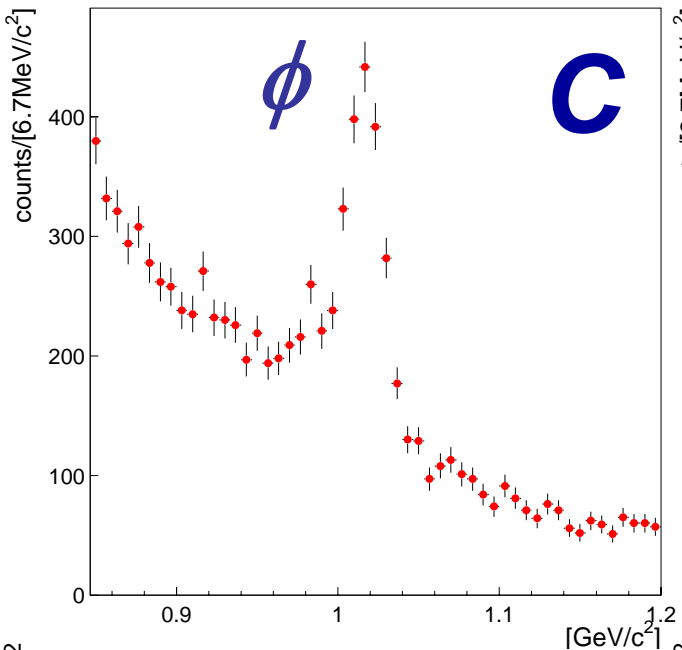
1997 June	First Physics Run with $K^+ K^-$	99
1998 May	Already Published (P.R.L.vol.86 22(2001))	95 12
1999 July	QM02/PANIC02	178 $\sim 700$ $\sim 125$
2000 June	Production Run with newly installed Dec. Vertex Chamber & Lead Glass Calorimeter	
2001 Nov.	DriftChamber preAmp Upgrade Production Run	$\sim 1400$ $\sim 7000 \times \sim 3$
2002 Feb.	LAST Production Run QM04/QM05/ PANIC05 (Nucl-ex/0504016, 0511019)	$\sim 5000$

# Setup

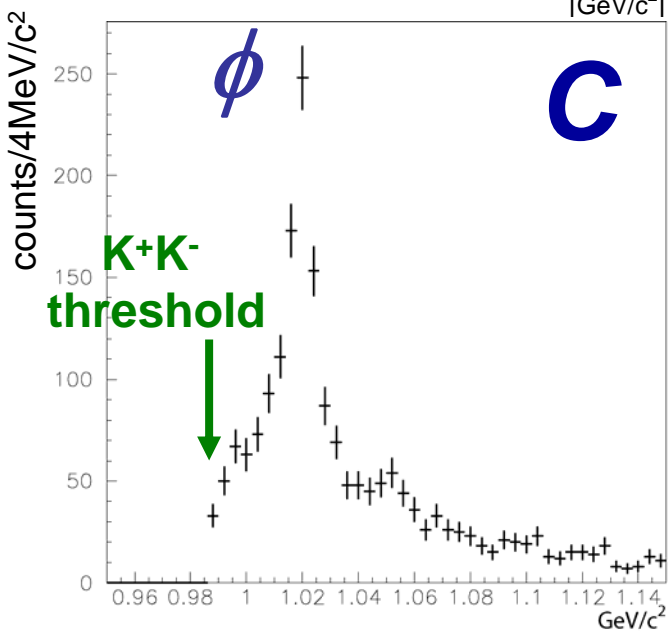


# Mass Spectra

$e^+e^-$



$K^+K^-$

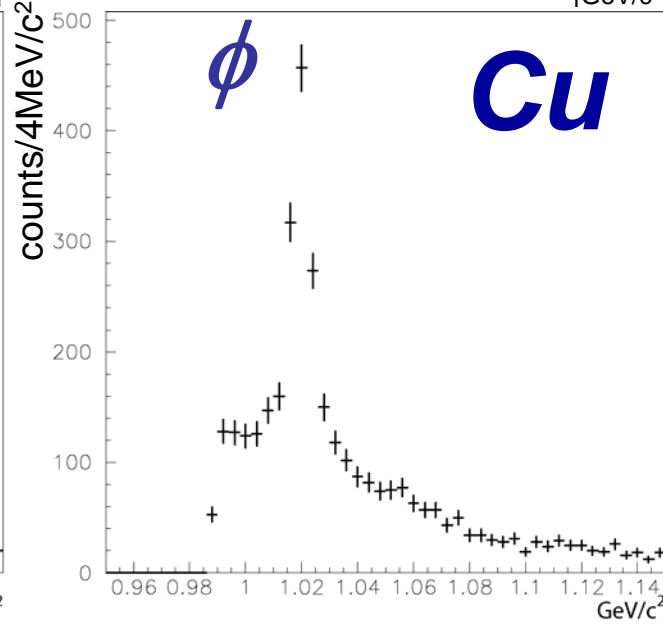
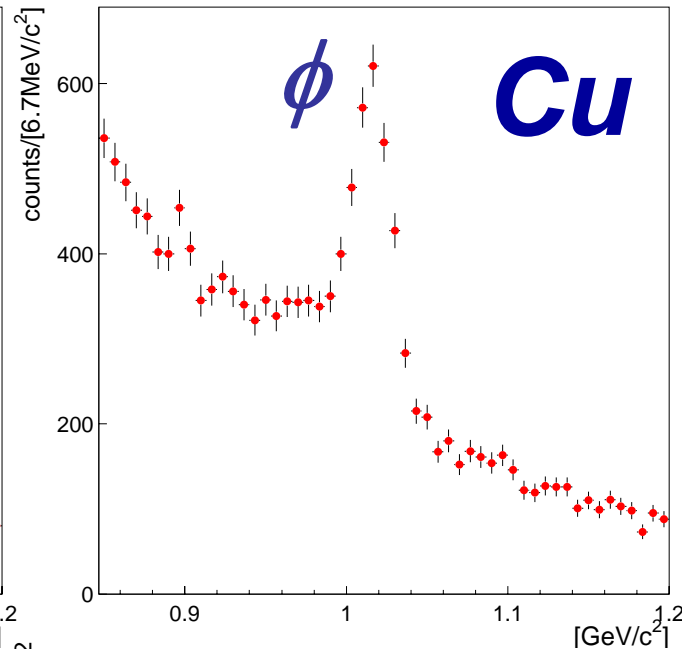


$\phi$

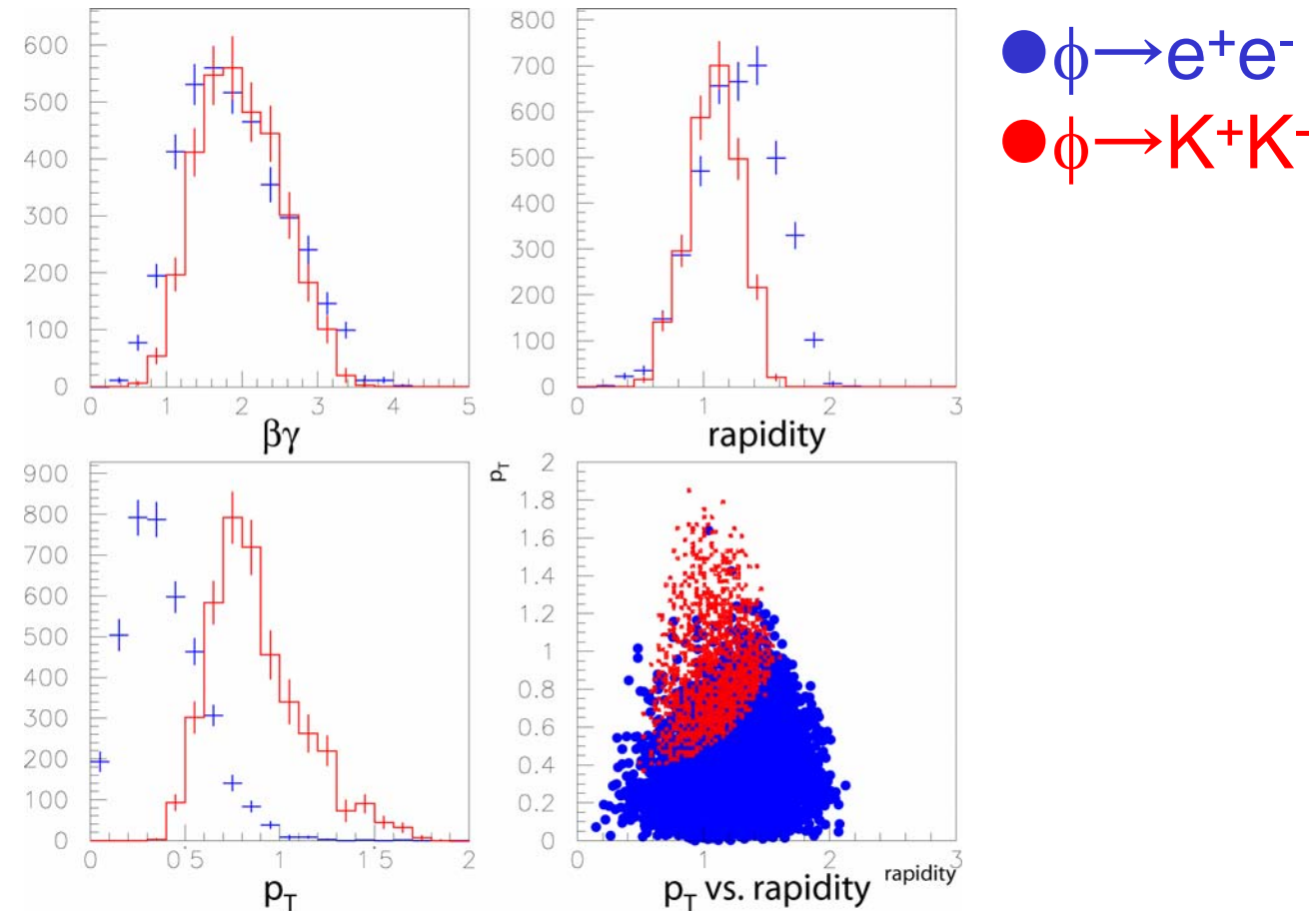
$\phi$

$Cu$

$Cu$



# Kinematical Distributions for observed $\phi$



The detector acceptance is different between  $e^+e^-$  and  $K^+K^-$   
→ But there is an overlap region

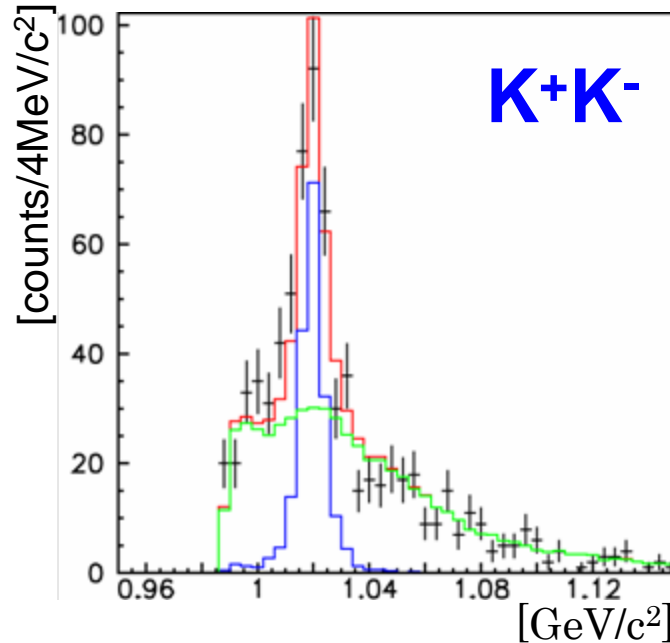
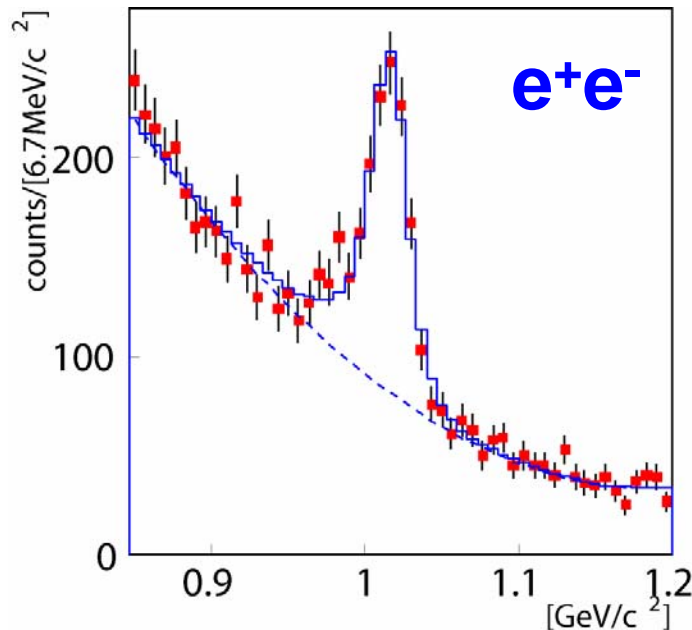
Slowly moving  $\phi$  meson should have larger probability  
to decay inside a nucleus

# Mass shape analysis

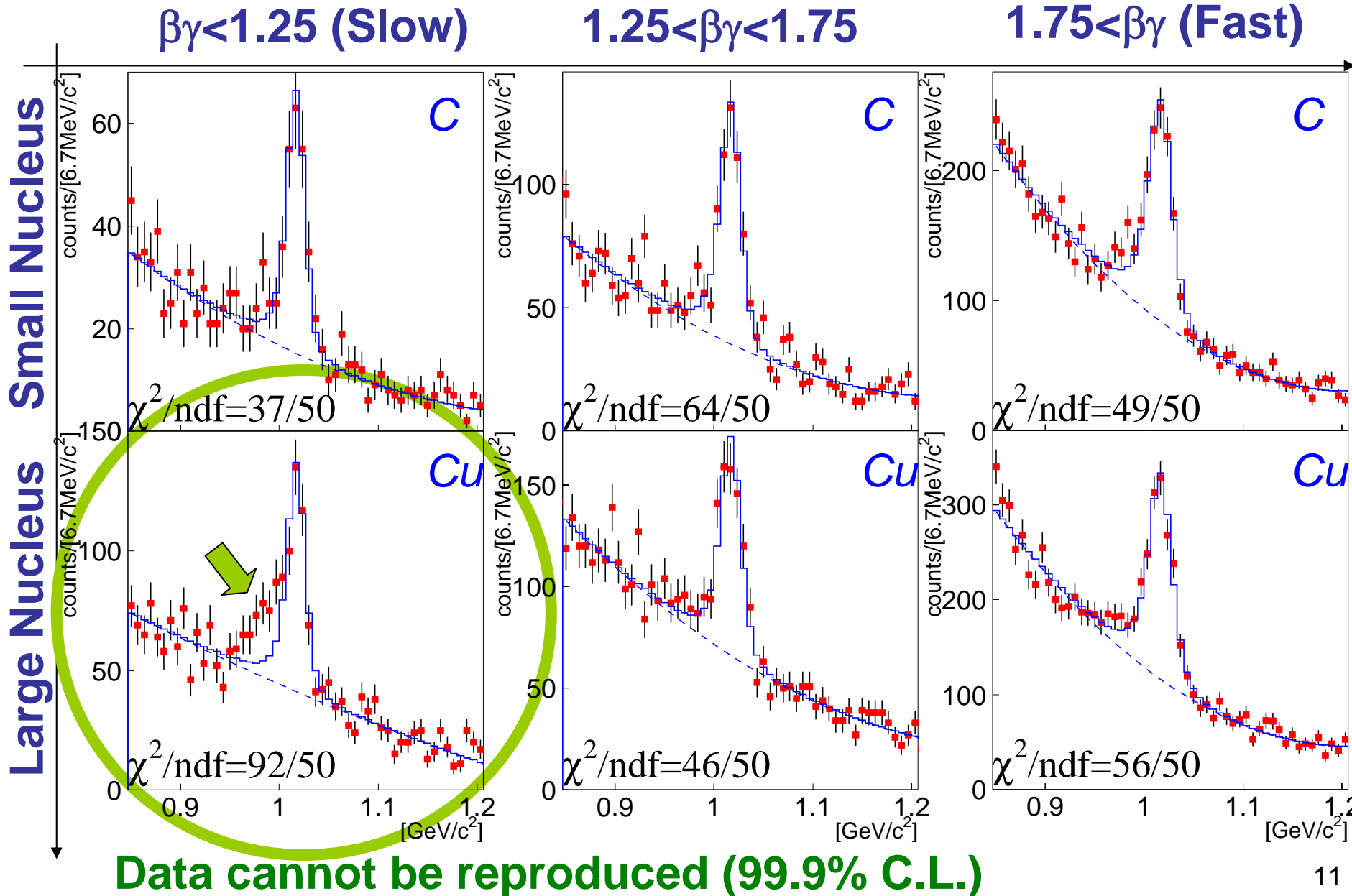
*R.Muto et al., ncle-ex/0511019*

# Fitting Methods

- **Background** : quadratic curve ( $e^+e^-$ )  
mixed event method ( $K^+K^-$ )
- **$\phi$  Shape** : Breit-Wigner distribution  
smeared by taking the experimental effects into account using  
Geant4 simulation
  - physical processes and detector effects
- **Examine the mass shape as a function of  $\beta\gamma$**



# Fit Results for $e^+e^-$ (divided by $\beta\gamma$ )



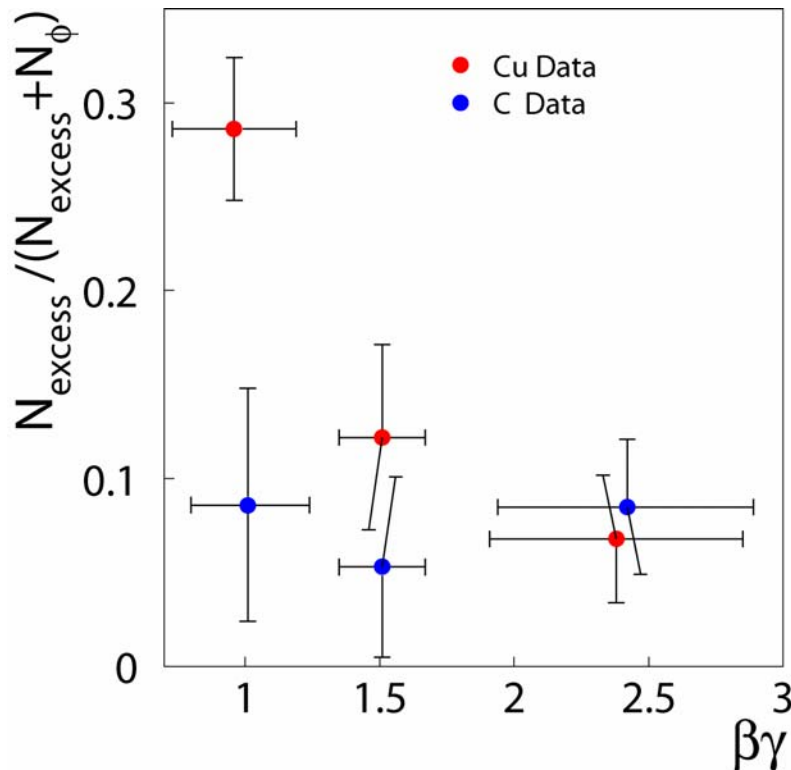
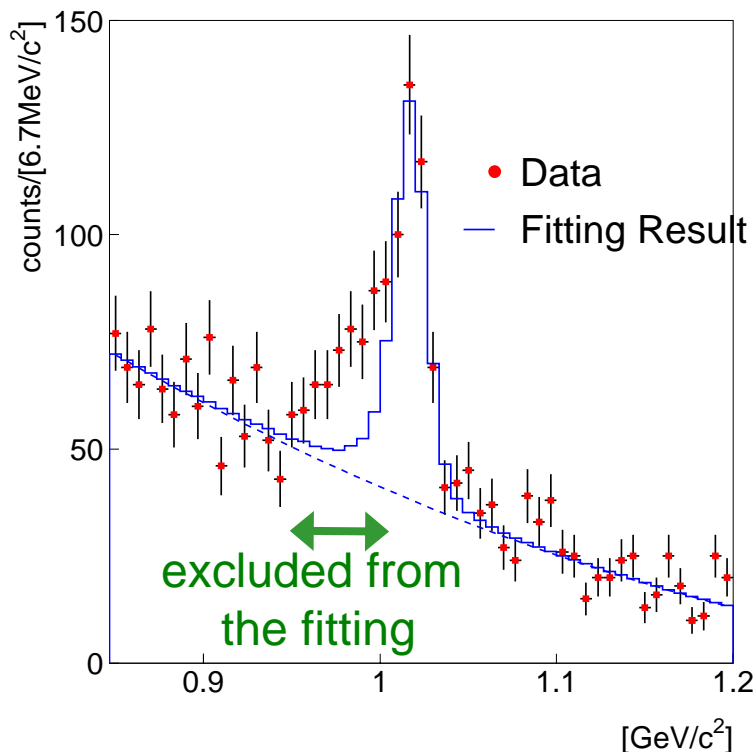
# Mass Shape for $e^+e^-$

A significant enhancement is seen in the Cu data, in  $\beta\gamma < 1.25$

➤ the excess is attributed to the  $\phi$  mesons which decay inside the nucleus and are modified

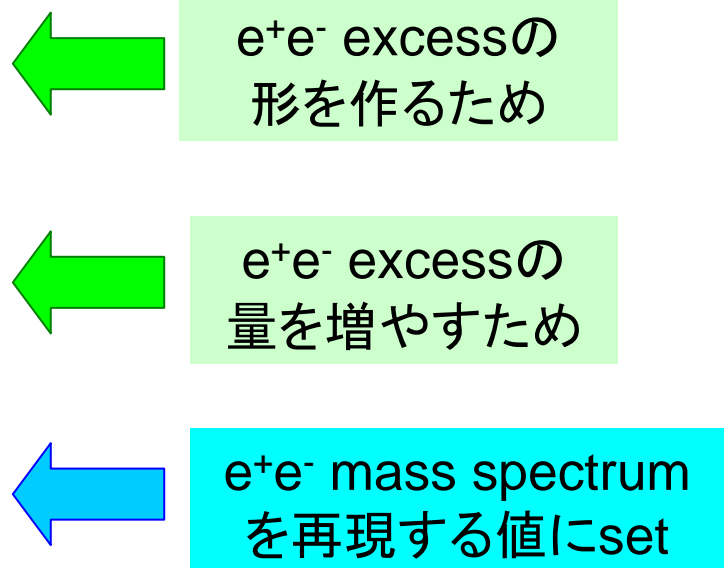
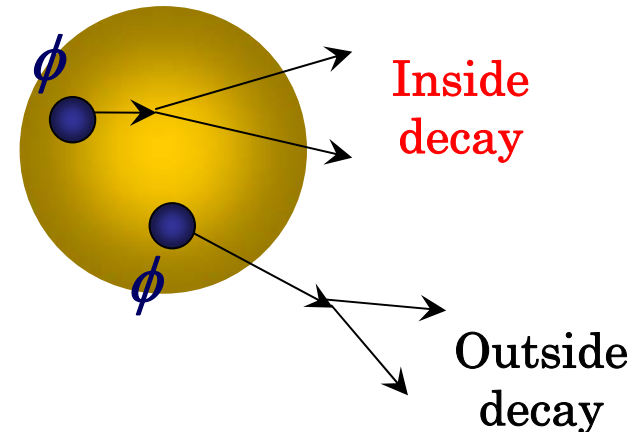
To evaluate  
the amount of the excess

- I. Fit the spectra again by excluding the excess region,  $0.95\sim 1.01\text{GeV}/c^2$
- II. Integrate the spectra in the excess region
- III. Subtract the background and the normal phi meson shape which are determined by the fit

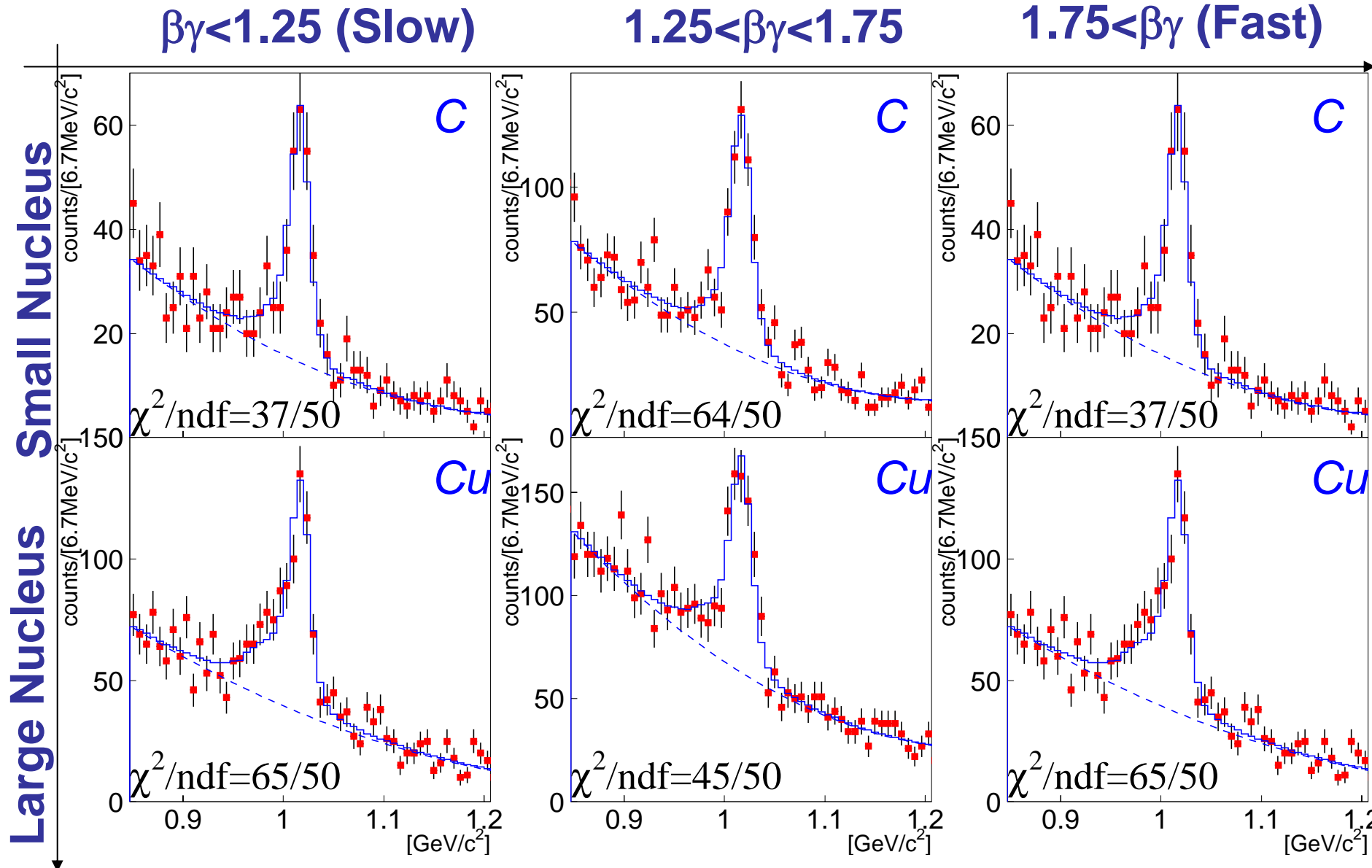


# Model Calc.

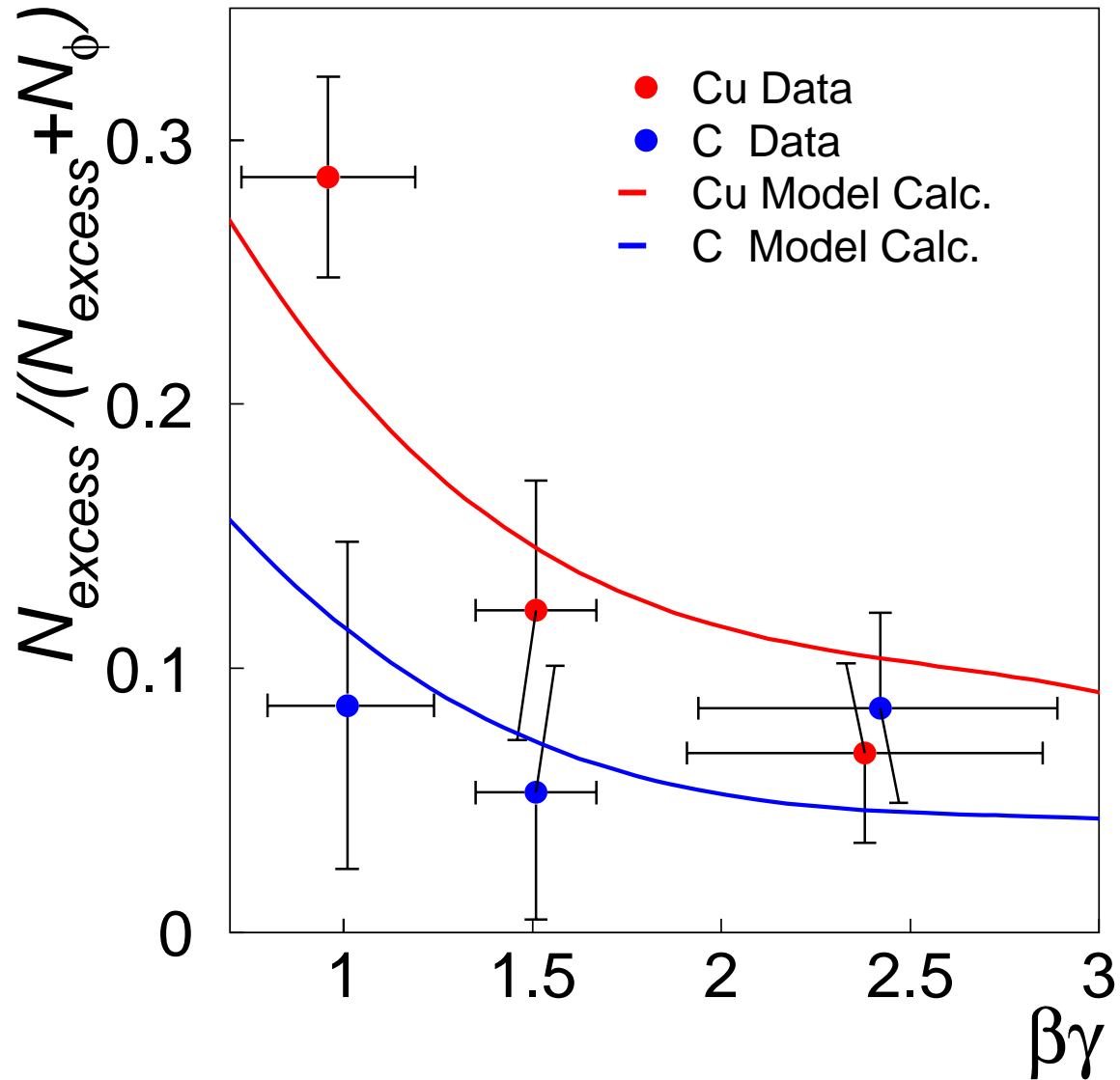
- generated uniformly in target nucleus
- density distribution
  - Woods-Saxon
  - radius: C:2.3fm/Cu:4.1fm
- mass spectrum: Breit-Wigner Shape
- pole mass:  $m^*/m = 1 - k_1 \rho/\rho_0$   
 $k_1=0.018\sim0.033, +/-30\%$   
 (Hatsuda-Lee prediction)
- decay width:  $\Gamma_{\text{tot}}^*/\Gamma_{\text{tot}} = 1 + k_2^{\text{tot}} \rho/\rho_0$   
 $\Gamma_{ee}^*/\Gamma_{ee} = 1 + k_2^{ee} \rho/\rho_0$   
 (no theoretical basis)
- We set  $k_1 = 0.04$ ,  $k_2^{\text{tot}} = k_2^{ee} = 10$   
 (at  $\rho=\rho_0$ ,  $\Gamma^*\sim48\text{MeV}$  (from Klingl, et al. ))



# Fit Results of Model Calc. for $e^+e^-$

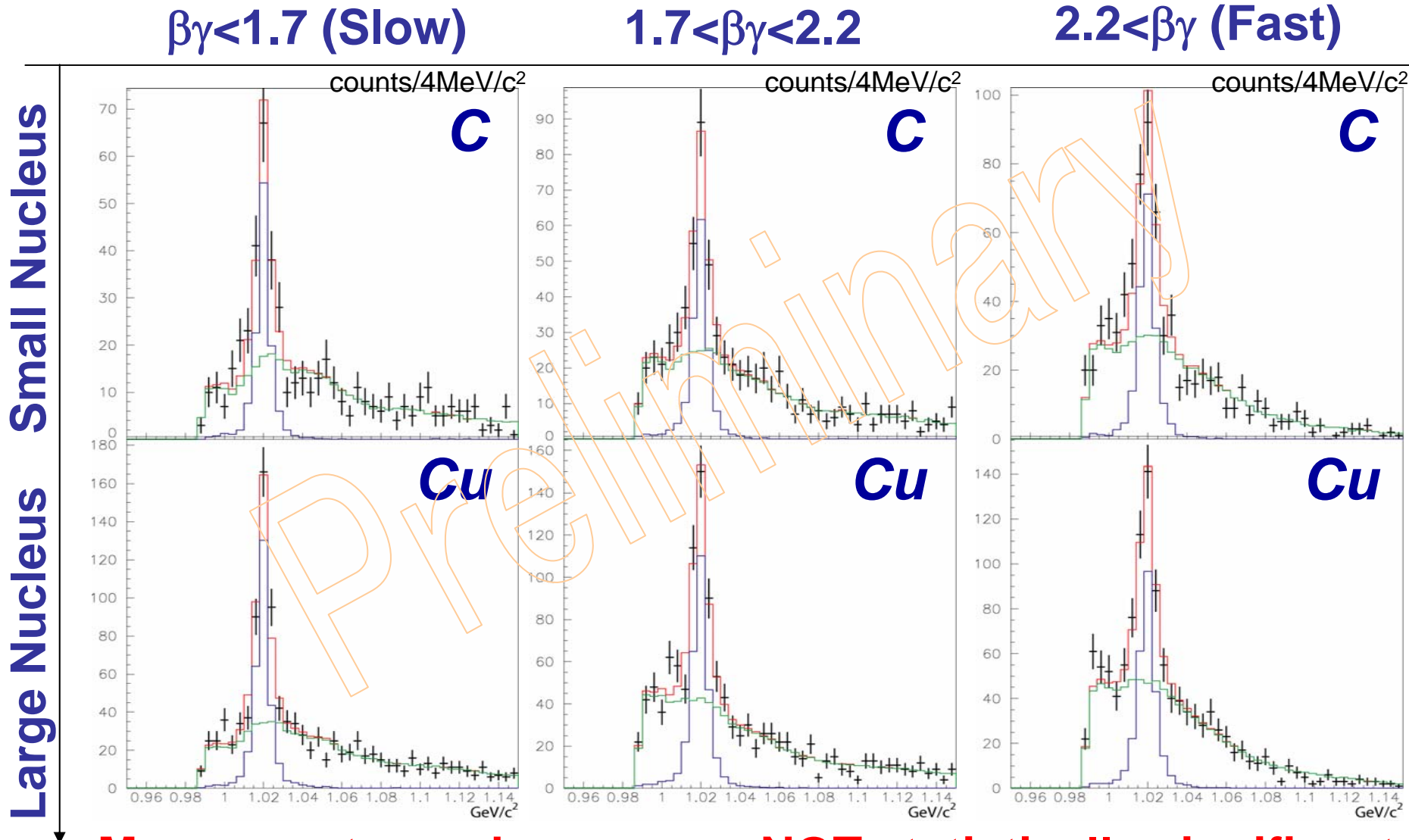


# Excess Ratio of Model Calc. for $e^+e^-$



*The model calculation reproduces the tendency of our data*

# Fit Results for $K^+K^-$ (divided by $\beta\gamma$ )



**Mass spectrum changes are NOT statistically significant**

- the statistics in the  $K^+K^-$  mode is much less than those in the  $e^+e^-$  mode
- $K^+K^-$  data is extremely limited in  $\beta\gamma < 1.25$

# Model Calc.

## $\Gamma_{K^+K^-}$ の扱い

以下のような仮定をする

$$\frac{\Gamma_{hadron}^*}{\Gamma_{tot}^*} \approx const.$$

⇒  $\frac{\Gamma_{K\bar{K}}^*}{\Gamma_{tot}^*} \approx const.$

⇒  $\frac{\Gamma_{K^+K^-}^*}{\Gamma_{tot}^*} \approx const.$

## $\phi$ meson decay mode

hadronic decay mode ( $K^+K^-$ ,  $K^0_L K^0_S$ ,  $\rho\pi + \pi^+\pi^-\pi^0$ , etc.)  
ratio~0.984 (0.492, 0.337, 0.155, ...)

leptonic decay mode ( $e^+e^-$ ,  $\mu^+\mu^-$ , etc.)

ratio~5.83e-4 (2.96e-4, 2.87e-4, ...)

semi-leptonic decay mode ( $\eta\gamma$ ,  $\pi^0\gamma$ , etc.)

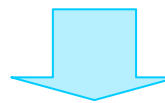
ratio~(1-0.984)=0.016 (0.1299, 1.24e-3, ...)

## $K^+K^-$ threshold の扱い

$\phi$ -massが  $K^+K^-$  threshold (=987.345MeV)以下の時

- $e^+e^-$  へは decay 出来る
- $K^+K^-$  へは threshold を超えるまで mass を決め直し続ける ( $\Gamma$ を保存するため)

と仮定する



$\Gamma$  保存を仮定しているため、Kaon-Suppression  
は無視している

現時点での解析では、原子核内での Kaon の

- dispersion-relation (or modification)
- re-scattering (absorption 含む)

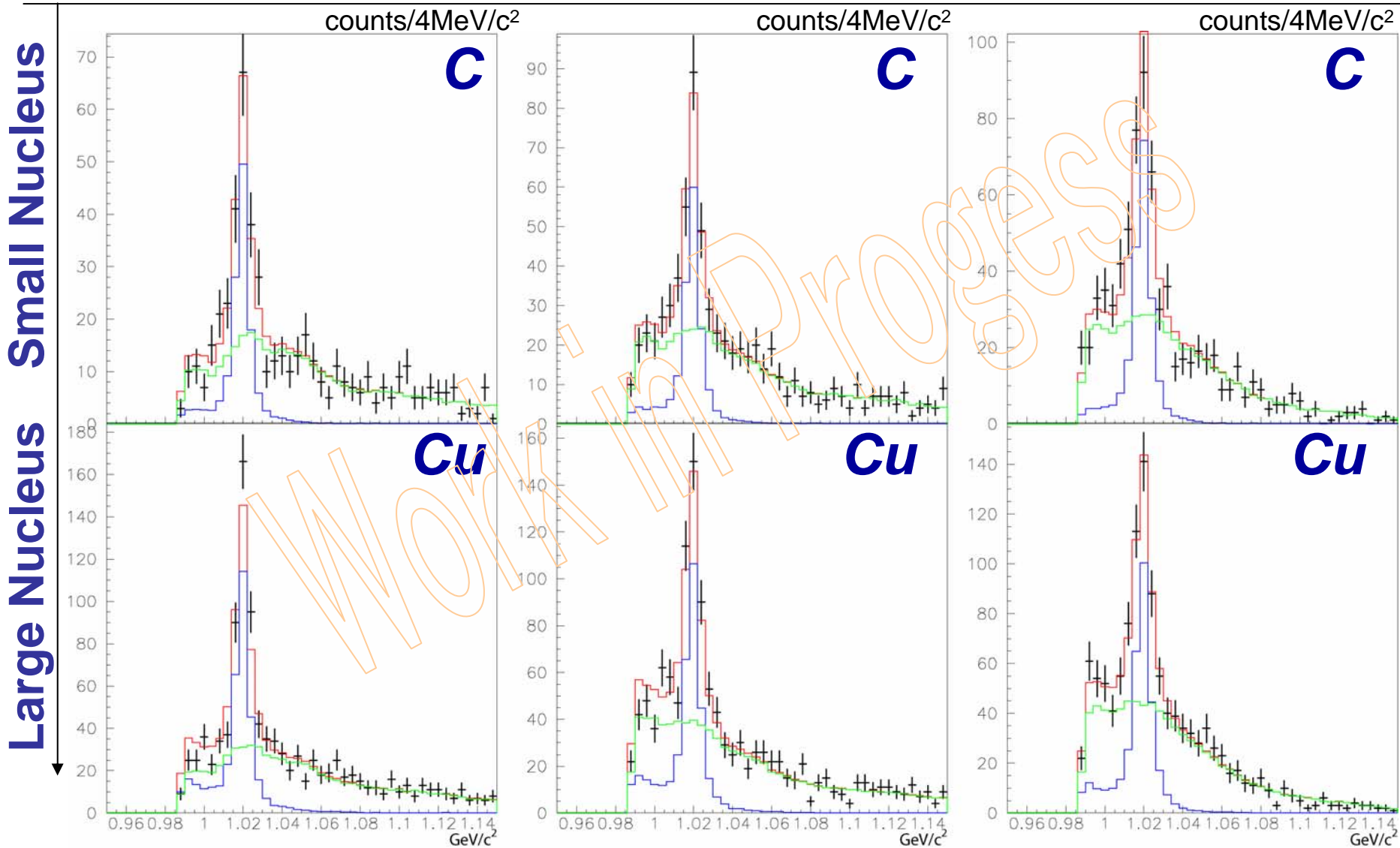
の効果を考えていない

# Fit Results of Model Calc. for K<sup>+</sup>K<sup>-</sup>

$\beta\gamma < 1.7$  (Slow)

$1.7 < \beta\gamma < 2.2$

$2.2 < \beta\gamma$  (Fast)



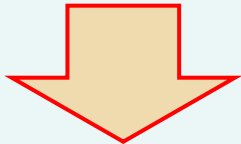
# **Nuclear size dependence of Cross-Section**

# $\Gamma_{K+K^-}/\Gamma_{e^+e^-}$ and Nuclear Size Dependence $\alpha$

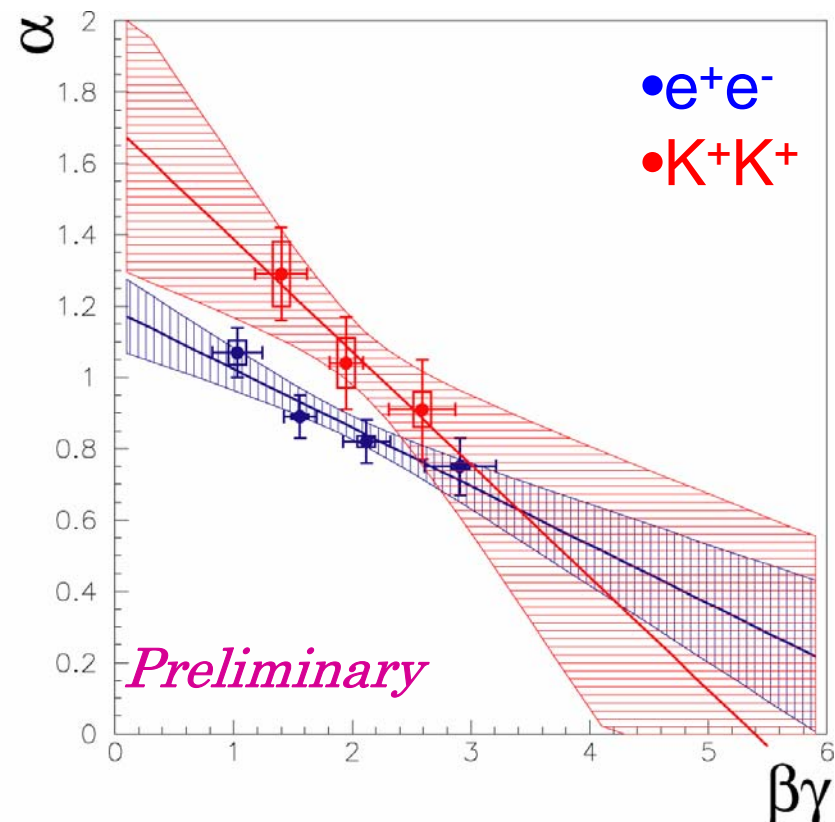
$$\sigma(A) = \sigma(A=1) \times A^\alpha$$

## example of $\alpha$ change

- $\Gamma_{K+K^-}/\Gamma_{e^+e^-}$  increases in a nucleus  
 $\rightarrow N_{\phi \rightarrow K+K^-} / N_{\phi \rightarrow e^+e^-}$  becomes large
- The larger modification is expected in the larger nucleus



- $\alpha_{\phi \rightarrow K+K^-}$  becomes larger than  $\alpha_{\phi \rightarrow e^+e^-}$
- The difference of  $\alpha$  is expected to be enhanced in slowly moving  $\phi$  mesons

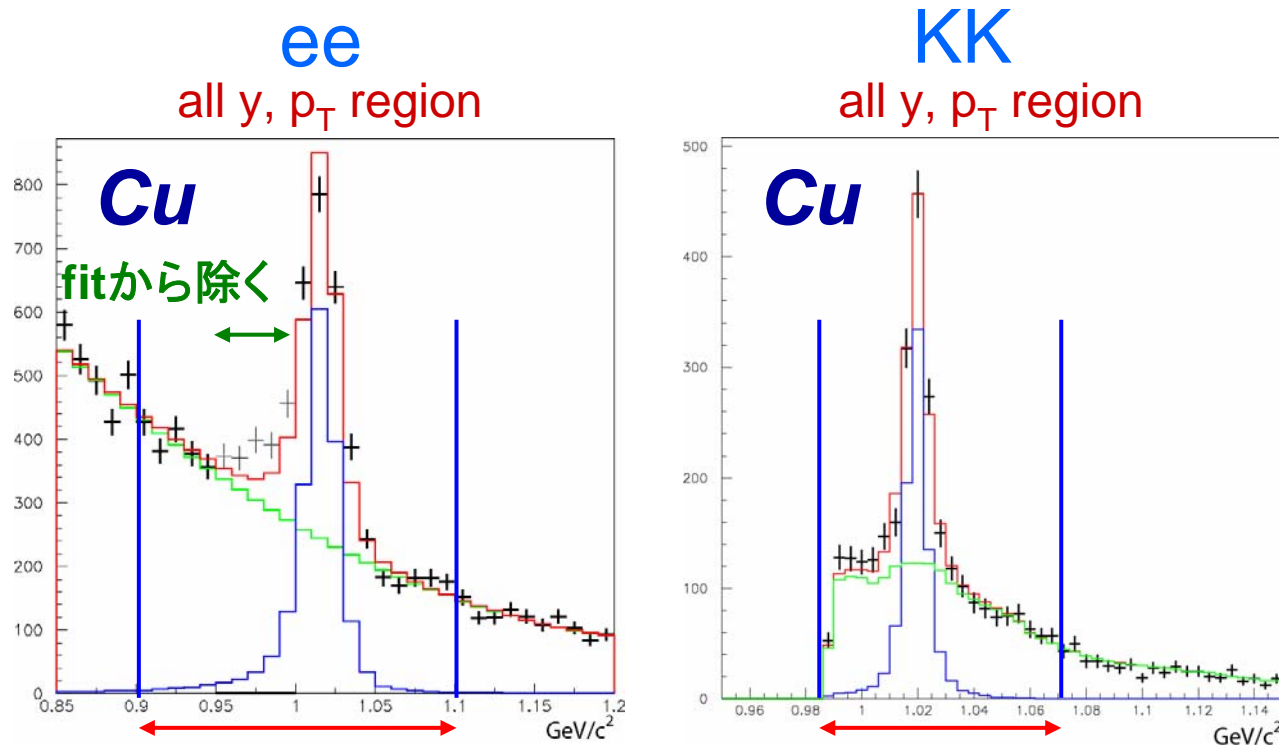


$\alpha_{\phi \rightarrow K+K^-}$  looks larger than  $\alpha_{\phi \rightarrow e^+e^-}$  in lower  $\beta\gamma$  region

# # of $\phi$ -meson

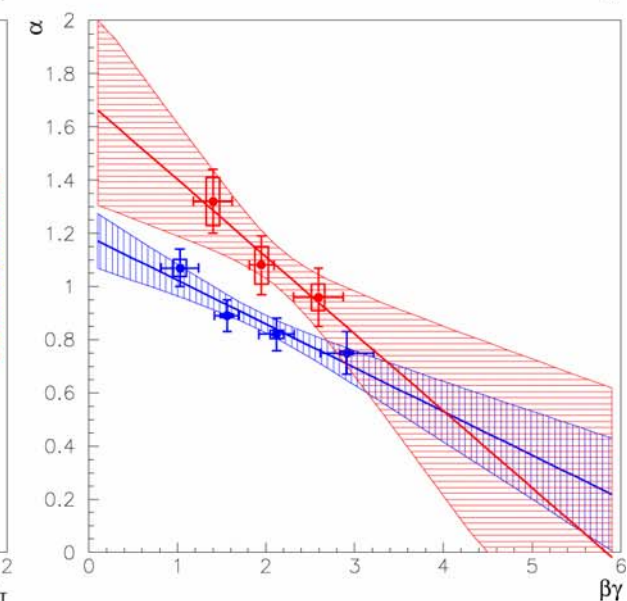
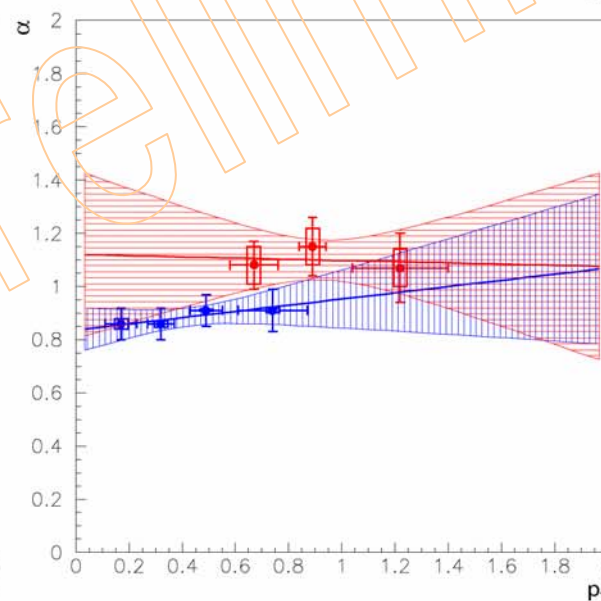
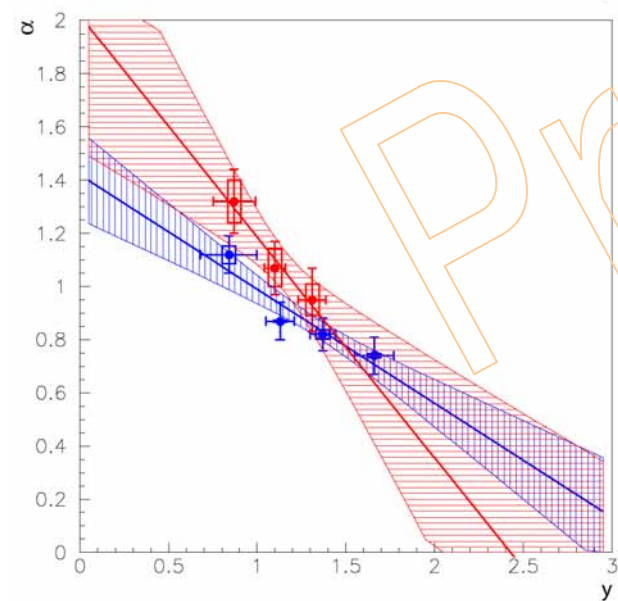
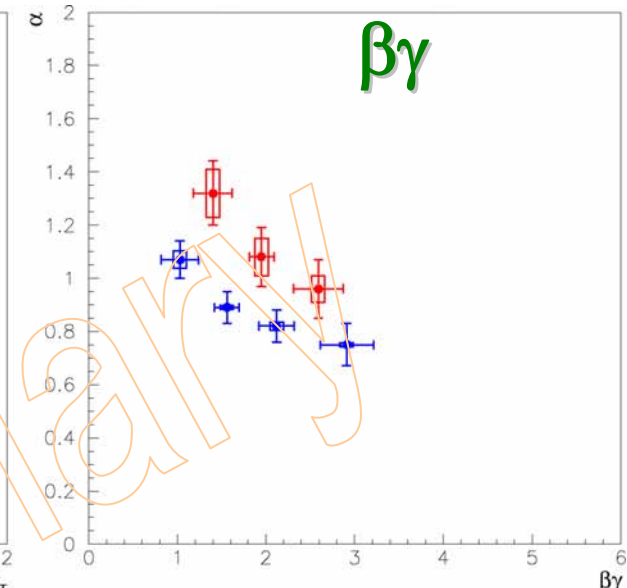
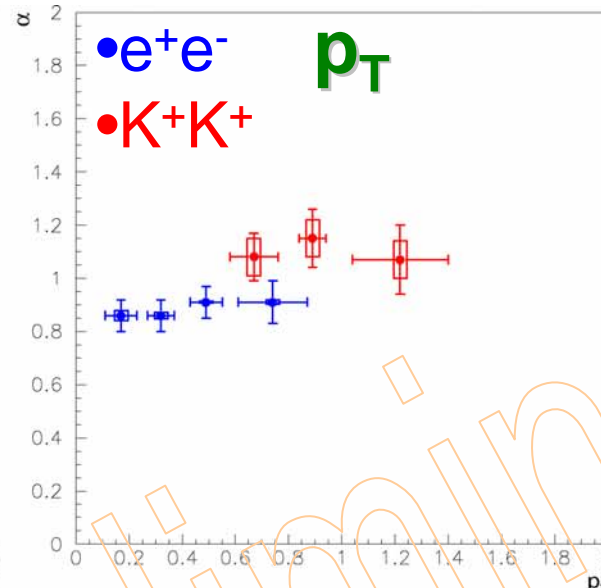
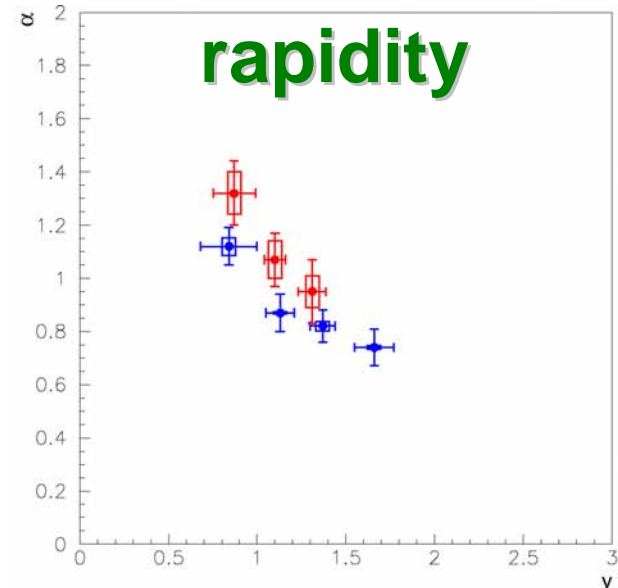
ee:  $0.9\text{-}1.1\text{GeV}/c^2$  [ただし、 $0.95\text{-}1.0\text{GeV}/c^2$  fitから除く]  
KK:  $0.986(\text{KK-th})\text{-}1.07\text{GeV}/c^2$

- 用いる $\phi$ -meson shapeは「mod.していない形」
- この範囲の「BGを引いた数」を数える

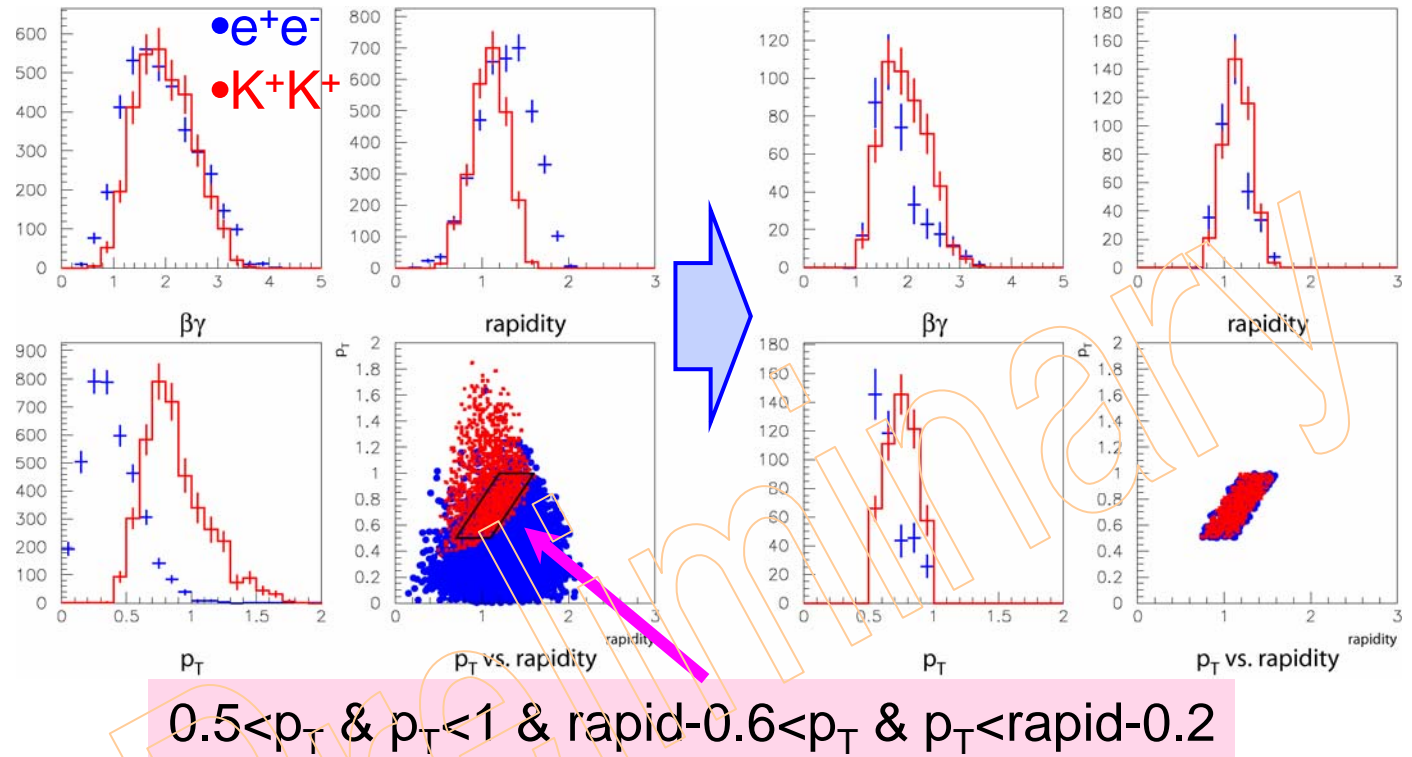


# Nuclear Dependence $\alpha$

raw  $\alpha$



# $\alpha$ (overlap acceptance)



	rapidity	$p_T$	$\beta\gamma$	$\alpha$
$e^+e^-$	$1.11 +/- 0.17$	$0.67 +/- 0.12$	$1.80 +/- 0.45$	<b><math>0.95 +/- 0.11</math></b>
$K^+K^-$	$1.15 +/- 0.16$	$0.75 +/- 0.12$	$1.95 +/- 0.43$	<b><math>1.05 +/- 0.08</math></b>

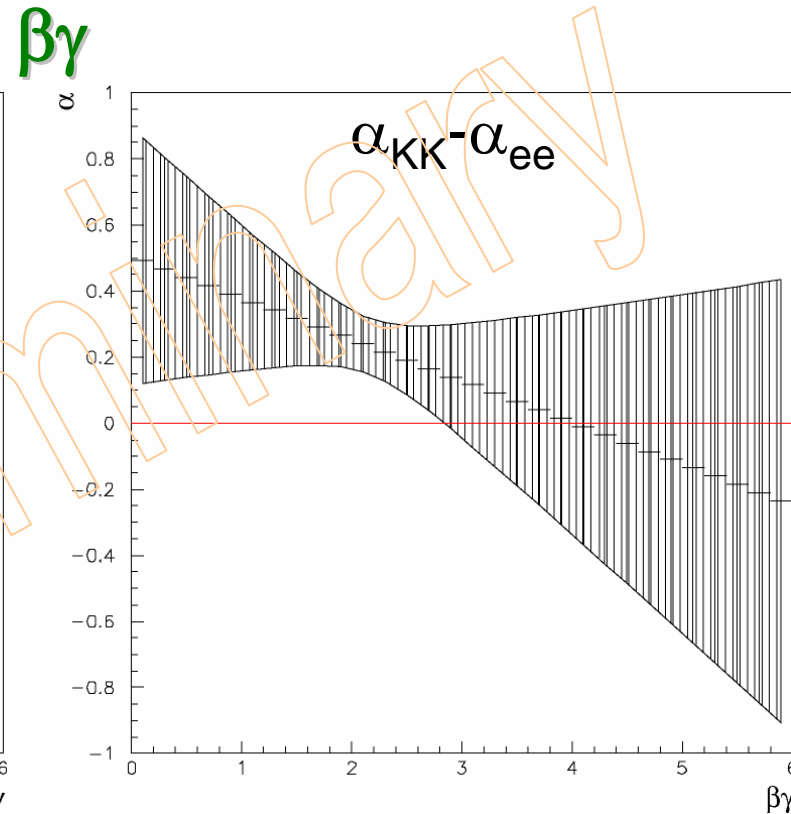
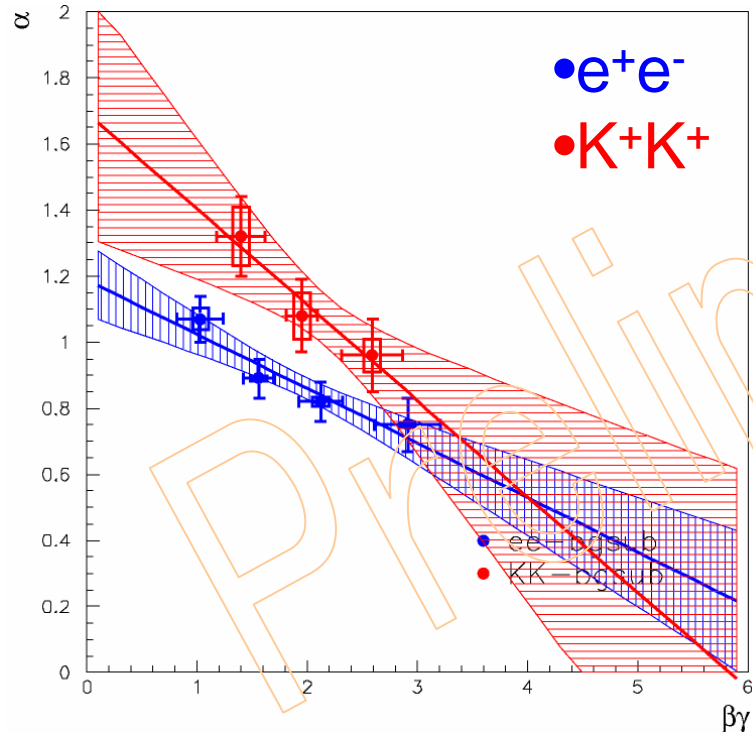
# $\alpha$ diff

$\alpha$ をfitした結果より、

$\alpha_{KK} - \alpha_{ee}$   
を考える

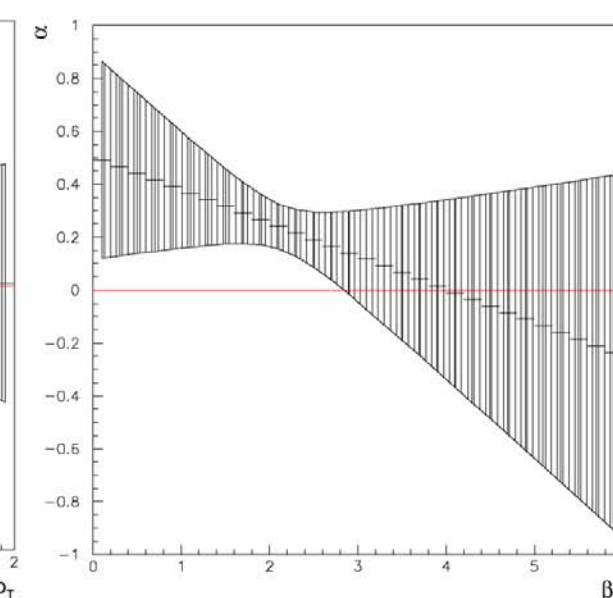
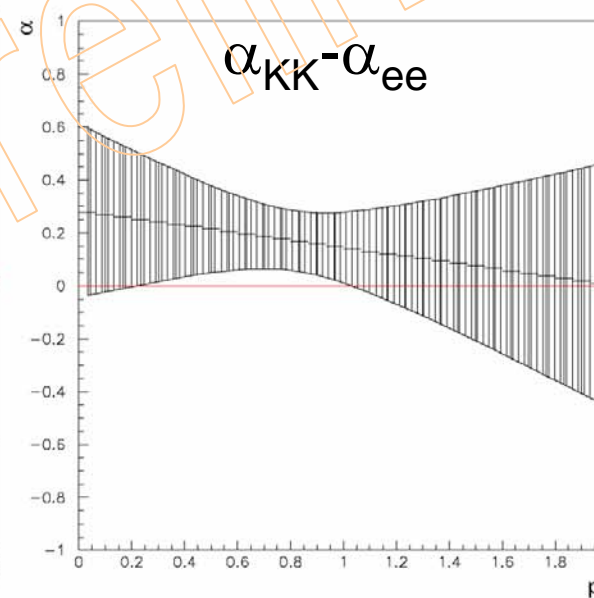
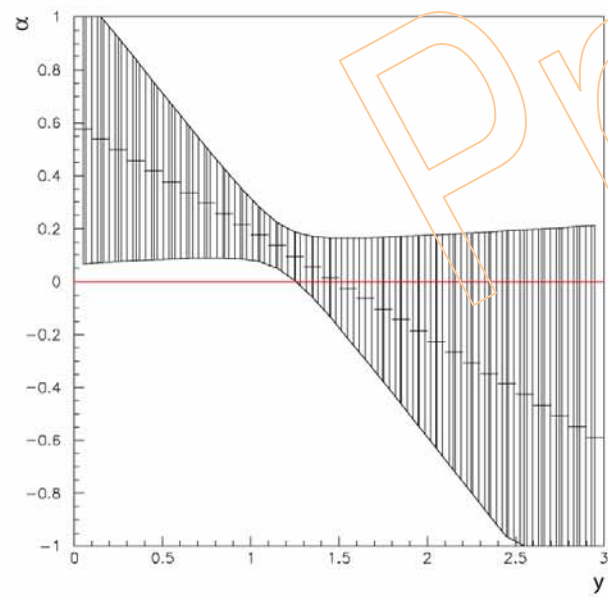
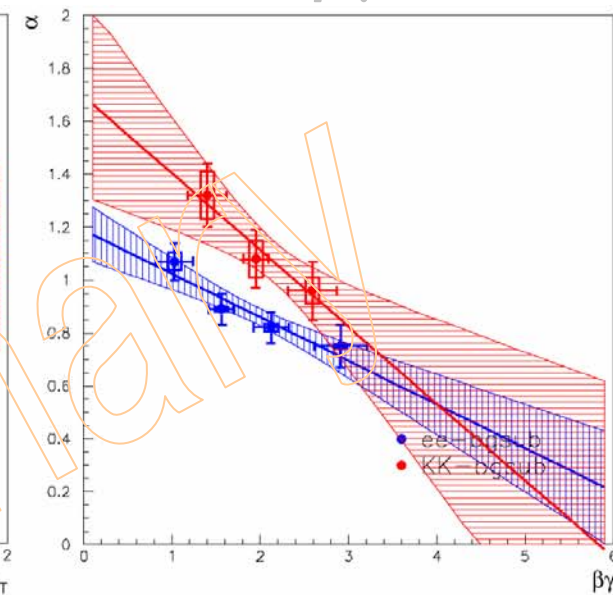
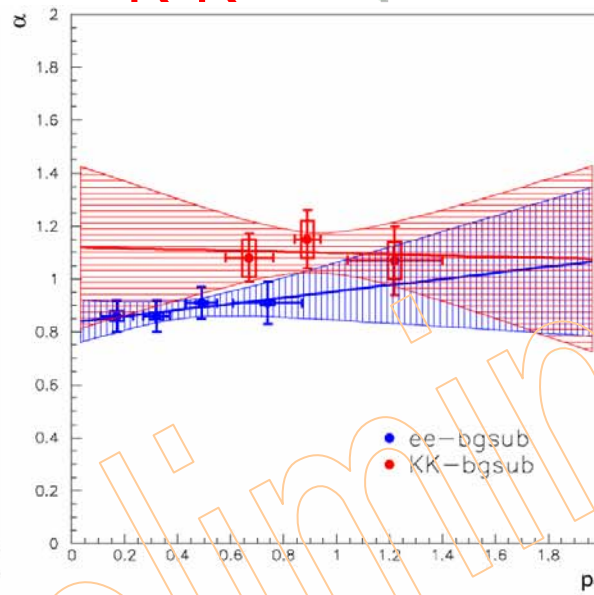
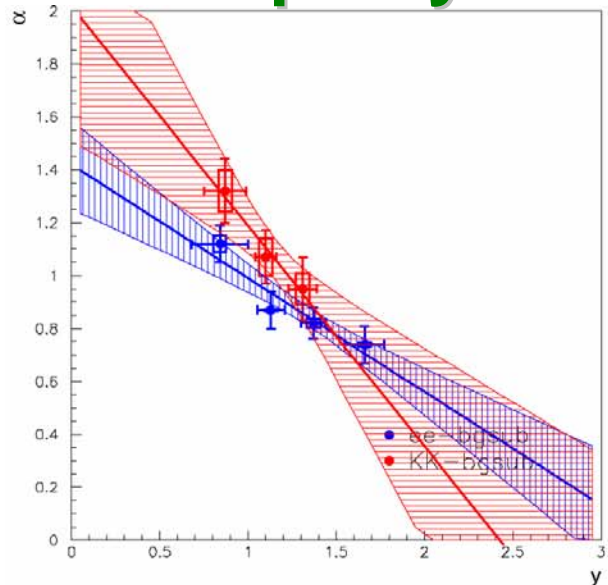
$$\alpha = \frac{\ln\left(\frac{\sigma(12)}{\sigma(63)}\right)}{\ln\left(\frac{12}{63}\right)}$$

より、 $\alpha_{KK} - \alpha_{ee}$ はCross-Section  
のdouble-ratio



# $\alpha$ diff

## rapidity

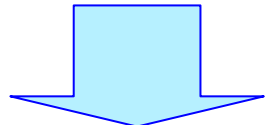


# Model Calc.

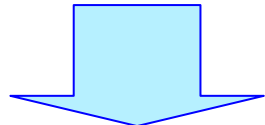
Mass shape analysisにおいては

$$k_1 = 0.04, k_2^{\text{tot}} = k_2^{\text{ee}} = 10$$

がdataを再現する傾向があった



- しかし、 $k_2^{\text{tot}} = k_2^{\text{ee}}$ つまり $\Gamma_{\text{tot}}^*/\Gamma_{\text{tot}} = \Gamma_{\text{ee}}^*/\Gamma_{\text{ee}}$ では $\alpha_{KK}$ と $\alpha_{ee}$ の違いを説明できない
- このとき、Kaonのre-scattering (absorption含む)を考えると $\alpha_{KK} < \alpha_{ee}$ となる
- また、dataは $\alpha_{KK} > \alpha_{ee}$ をsupportする



そこで、 $k_2^{\text{tot}} > k_2^{\text{ee}}$ つまり $\Gamma_{\text{tot}}^*/\Gamma_{\text{tot}} > \Gamma_{\text{ee}}^*/\Gamma_{\text{ee}}$ となり、かつ、 $\alpha_{KK}$ と $\alpha_{ee}$ , mass-spectrumを再現するような値を求める

$$m^*/m = 1 - k_1 \rho / \rho_0$$

$$\Gamma_{\text{tot}}^*/\Gamma_{\text{tot}} = 1 + k_2^{\text{tot}} \rho / \rho_0$$

$$\Gamma_{\text{ee}}^*/\Gamma_{\text{ee}} = 1 + k_2^{\text{ee}} \rho / \rho_0$$

$$(\Gamma_{K+K^-}^*/\Gamma_{\text{tot}}^* = \Gamma_{K+K^-}/\Gamma_{\text{tot}})$$

# Inside-nucleus decay (=at $\rho/\rho_0 > 0.5$ ) probability for $\phi$

[ w/o detector acceptance ]

KK

$\Gamma_{\text{tot}}$	C	Cu
X1	0.01	0.03
X11	0.08	0.21
X21	0.14	0.33
x41	0.22	0.46

ee

	$\Gamma_{\text{ee}} \times 1$		$\Gamma_{\text{ee}} \times 11$	
	C	Cu	C	Cu
X1	0.01	0.03	-	-
X11	0.01	0.03	0.08	0.22
X21	0.01	0.03	0.08	0.21
x41	0.01	0.03	0.08	0.21

# Fit Results of Model Calc. for $e^+e^-$

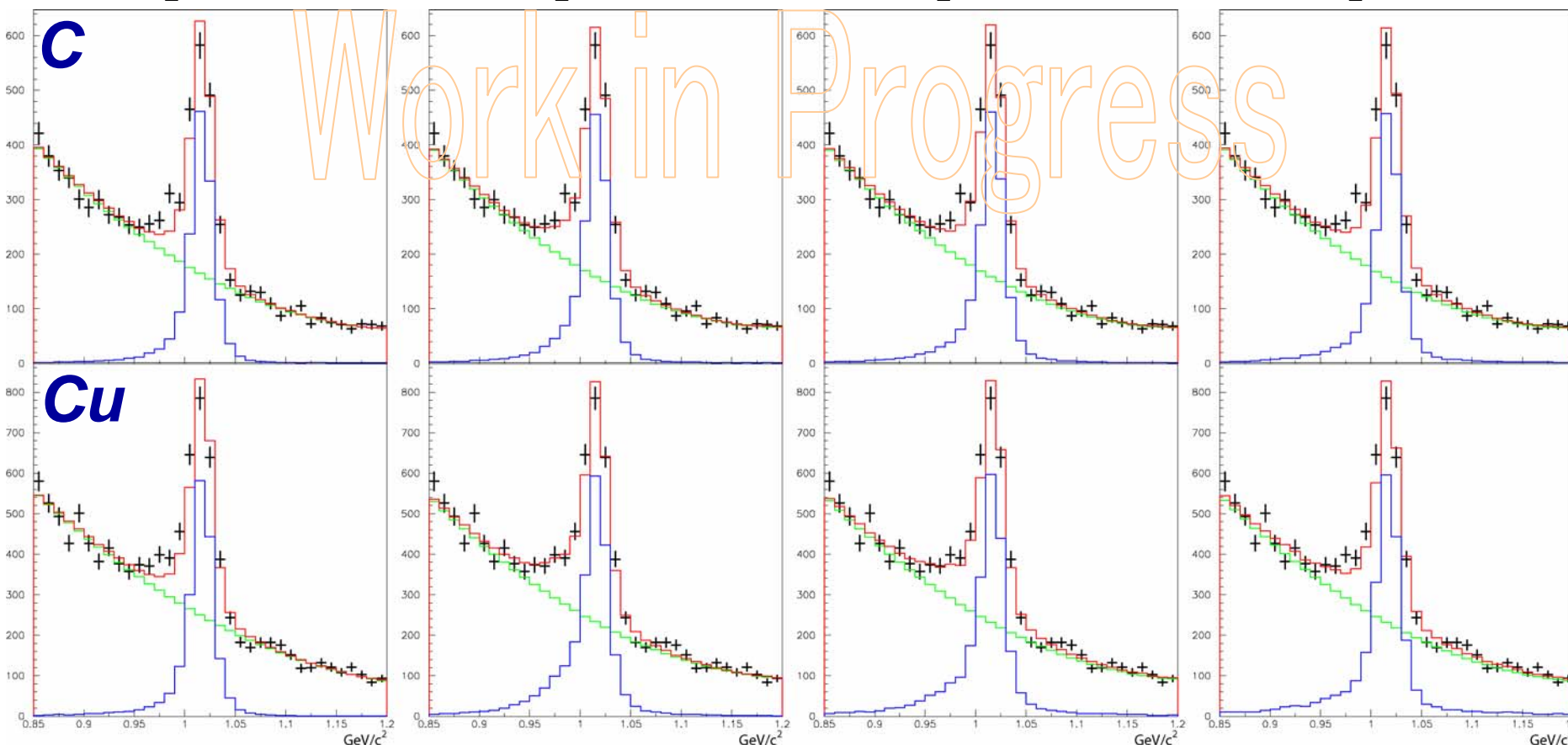
***all Data***

$$\begin{aligned}k_1 &= 0.00 \\k_2^{\text{tot}} &= 0 \\k_2^{\text{ee}} &= 0\end{aligned}$$

$$\begin{aligned}k_1 &= 0.04 \\k_2^{\text{tot}} &= 10 \\k_2^{\text{ee}} &= 10\end{aligned}$$

$$\begin{aligned}k_1 &= 0.04 \\k_2^{\text{tot}} &= 20 \\k_2^{\text{ee}} &= 10\end{aligned}$$

$$\begin{aligned}k_1 &= 0.04 \\k_2^{\text{tot}} &= 40 \\k_2^{\text{ee}} &= 10\end{aligned}$$



# Fit Results of Model Calc. for $e^+e^-$

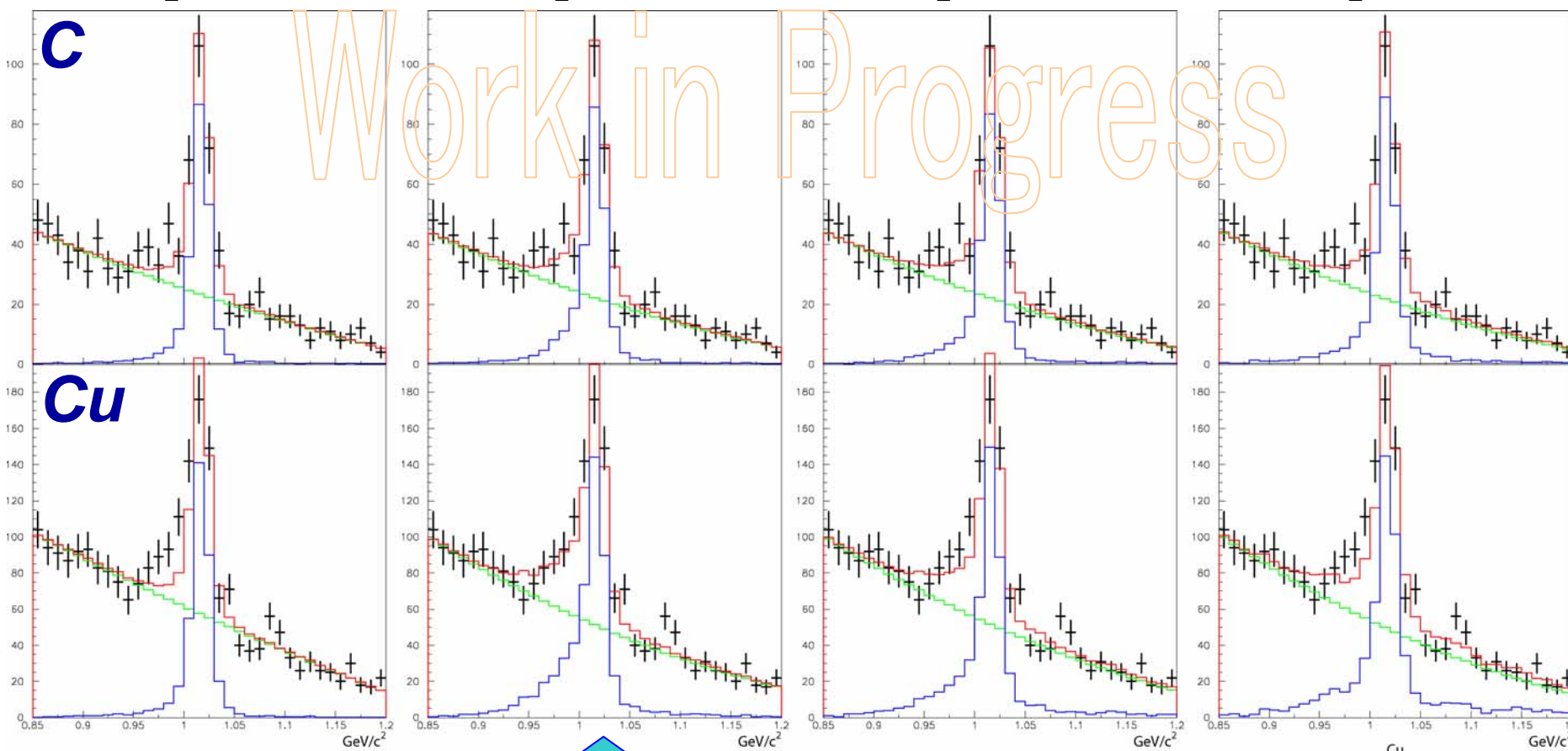
***low  $\beta\gamma$  region ( $\beta\gamma < 1.3$ )***

$$\begin{aligned}k_1 &= 0.00 \\k_2^{\text{tot}} &= 0 \\k_2^{\text{ee}} &= 0\end{aligned}$$

$$\begin{aligned}k_1 &= 0.04 \\k_2^{\text{tot}} &= 10 \\k_2^{\text{ee}} &= 10\end{aligned}$$

$$\begin{aligned}k_1 &= 0.04 \\k_2^{\text{tot}} &= 20 \\k_2^{\text{ee}} &= 10\end{aligned}$$

$$\begin{aligned}k_1 &= 0.04 \\k_2^{\text{tot}} &= 40 \\k_2^{\text{ee}} &= 10\end{aligned}$$



Dataを再現する傾向がある

# Fit Results of Model Calc. for K<sup>+</sup>K<sup>-</sup>

**all Data**

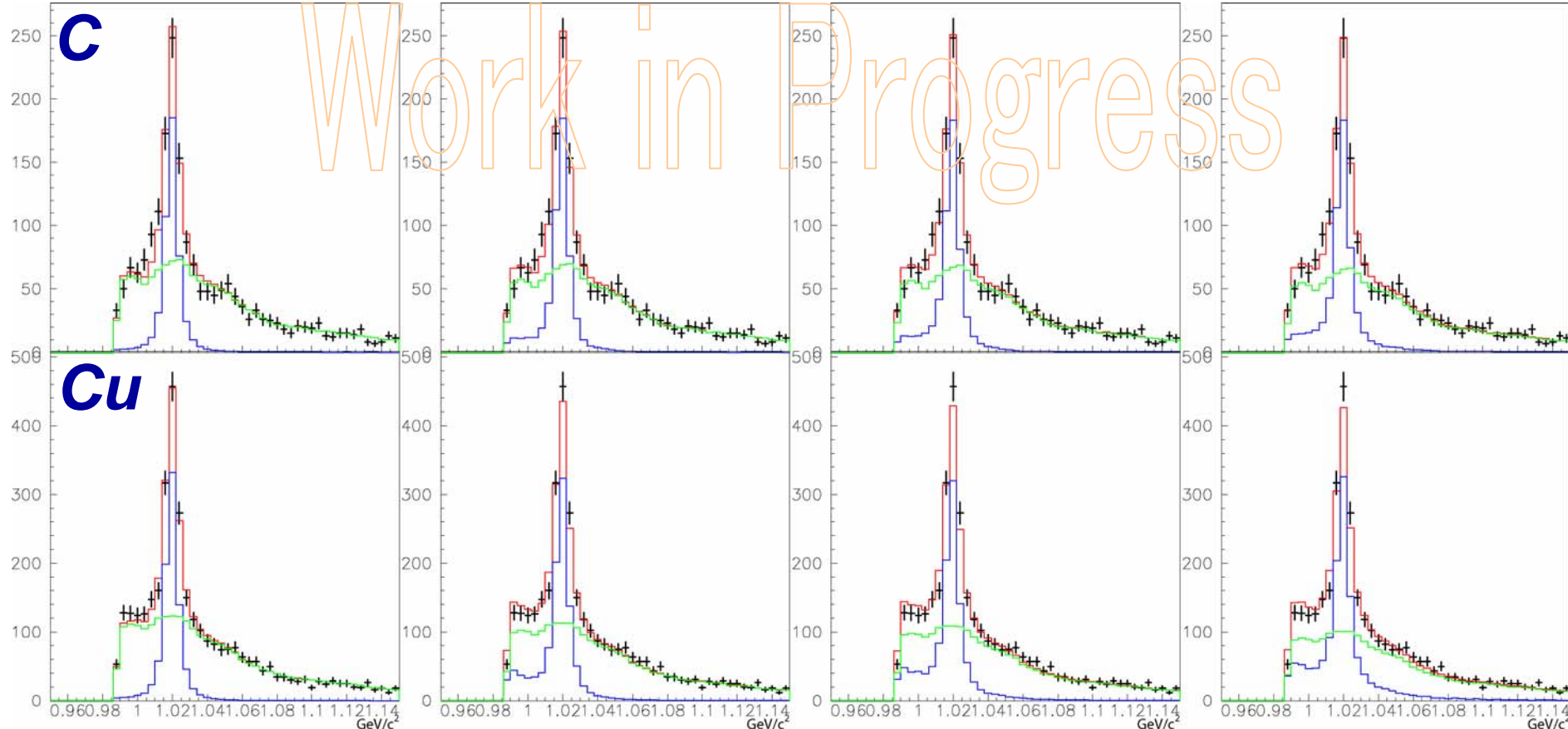
$$k_1=0.00 \\ k_2^{\text{tot}}=0$$

$$k_1=0.04 \\ k_2^{\text{tot}}=10$$

$$k_1=0.04 \\ k_2^{\text{tot}}=20$$

$$k_1=0.04 \\ k_2^{\text{tot}}=40$$

**C**



parameterに対する判定能力は低い

# $\alpha$ parameter of Model Calc.

mod. parameter  $k_1=0.04$ ,  $k_2^{\text{tot}}=40$ ,  $k_2^{\text{ee}}=10$

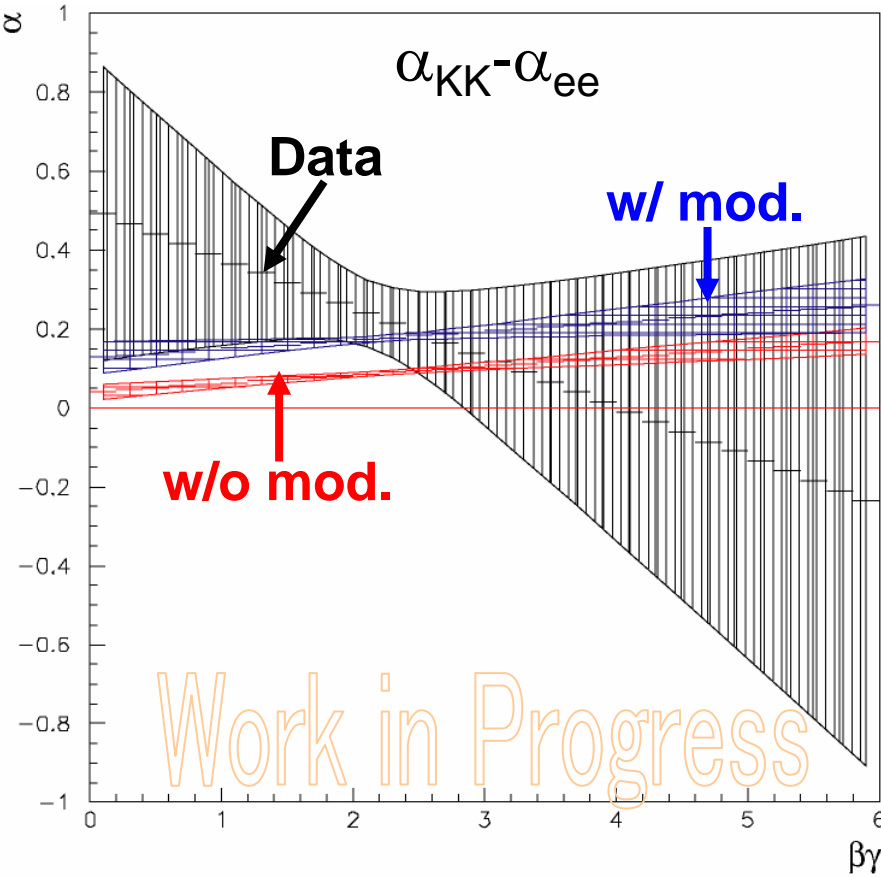
$$m^*/m = 1 - k_1 \rho/\rho_0$$

$$\Gamma_{\text{tot}}^*/\Gamma_{\text{tot}} = 1 + k_2^{\text{tot}} \rho/\rho_0$$

$$\Gamma_{\text{ee}}^*/\Gamma_{\text{ee}} = 1 + k_2^{\text{ee}} \rho/\rho_0$$

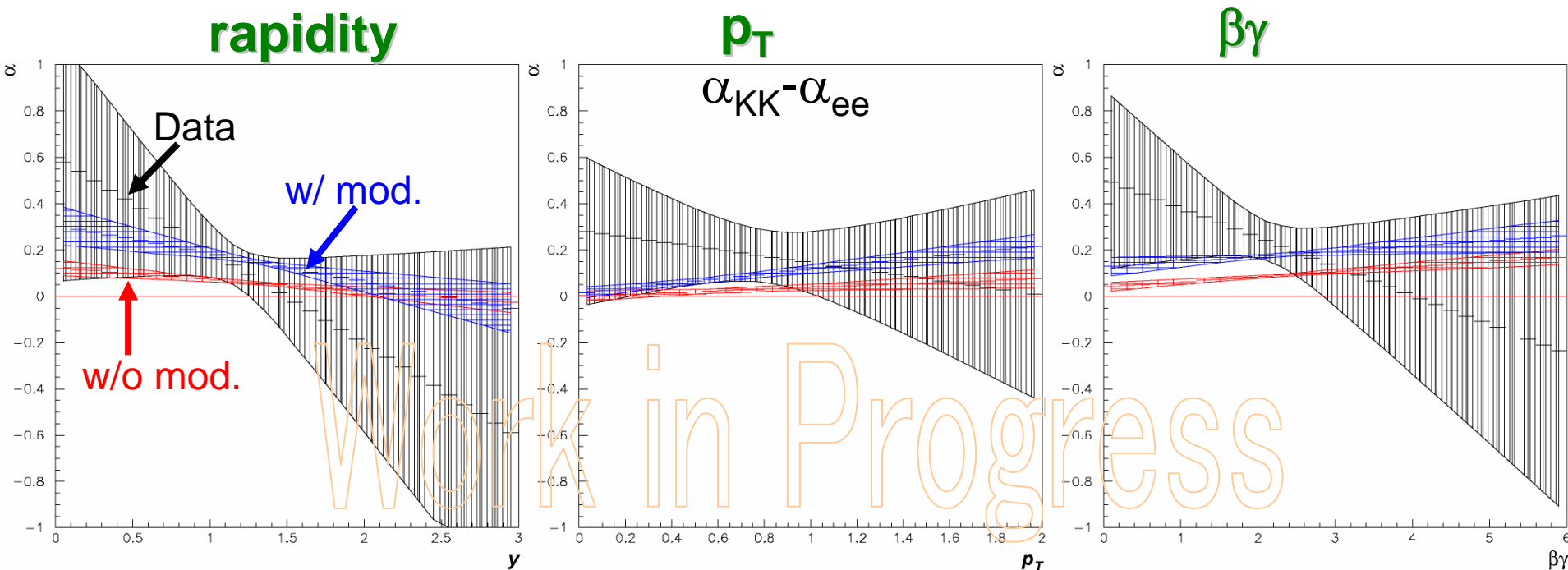
$$(\Gamma_{K+K^-}^*/\Gamma_{\text{tot}}^* = \Gamma_{K+K^-}/\Gamma_{\text{tot}})$$

- w/o mod. で eeと KKずれるのは、acceptanceのため
- $k_2^{\text{tot}}=40 \rightarrow \Gamma_{\text{tot}}=176\text{MeV} @ \rho=\rho_0$  !
- $\alpha_{KK}$  と  $\alpha_{ee}$  が異なっていく傾向はある
- しかし、ここまでしても data を再現できない



# $\alpha$ parameter of Model Calc.

mod. parameter  $k_1=0.04$ ,  $k_2^{\text{tot}}=40$ ,  $k_2^{\text{ee}}=10$

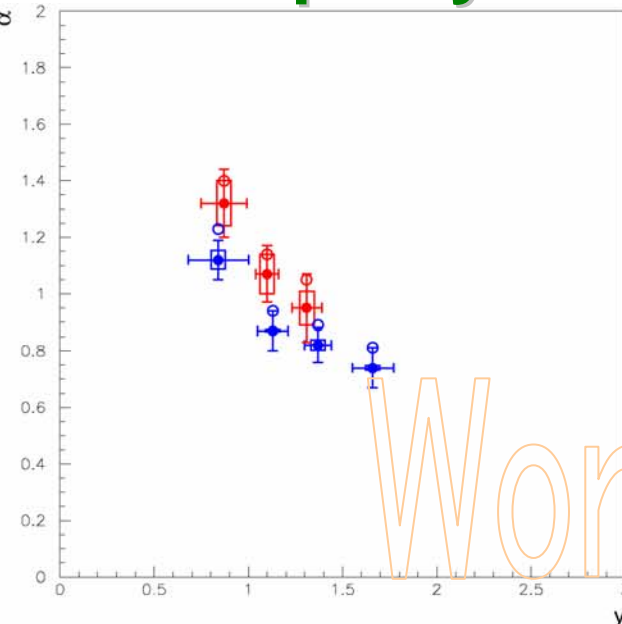


# $\alpha$ parameter of Model Calc.

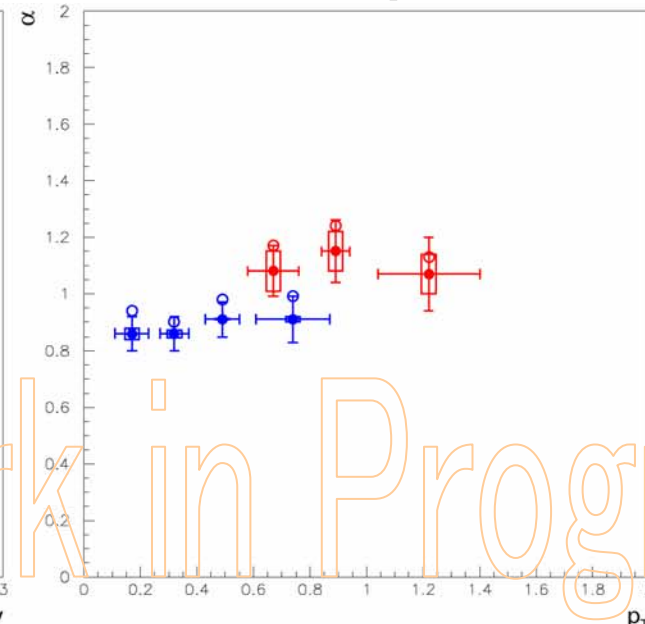
mod. parameter  $k_1=0.04$ ,  $k_2^{\text{tot}}=40$ ,  $k_2^{\text{ee}}=10$

- ee Data
- KK Data
- ee Data (mod. shape fit)
- KK Data (mod. shape fit)

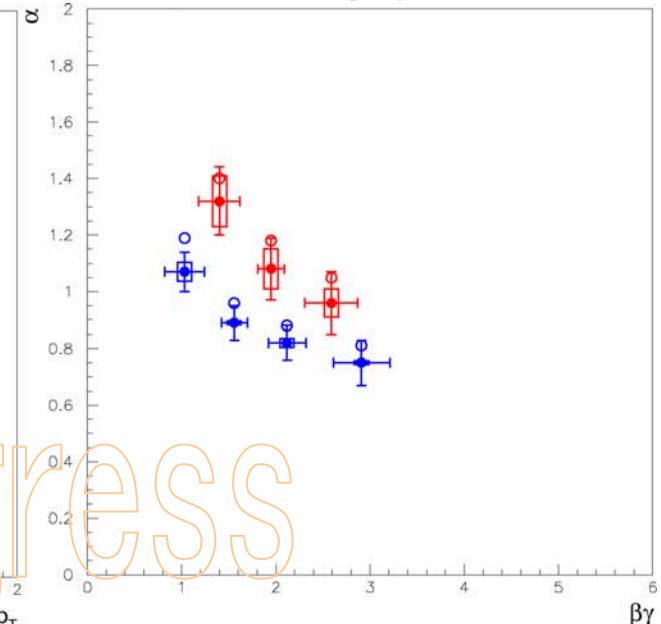
rapidity



$p_T$



$\beta\gamma$



$\alpha_{KK} - \alpha_{ee}$ は変わらない

# Summary

- KEK-PS E325実験は $12\text{GeV}/c^2 p+A=\rho,\omega,\phi+X$ において、 $e^+e^-$ ,  $K^+K^-$ 両channelの測定を行う実験で、ベクターメソンに対する通常原子核密度下における核物質効果の測定を目的として行った。
- $\phi \rightarrow e^+e^-$ では、Cu-targetにおいて、遅く動く $\phi$ のpeakの左側にexcessが見える。簡単なModel Calc.によると、 $\phi$ のmodificationを取り入れることによって、我々のDataを再現する傾向が認められる。
- $\phi \rightarrow K^+K^-$ では、mass-spectrumの統計的に優位な変化は見られない。 $e^+e^-$ で excessが見える $\beta\gamma$ の低い領域の $K^+K^-$ の統計量は非常に少なく、直接の比較は行えない。
- $\alpha_{\phi \rightarrow K^+K^-}$ は $\alpha_{\phi \rightarrow e^+e^-}$ より $\beta\gamma$ の低い領域ほど大きくなっているように見える。このような $\alpha_{ee}$ と $\alpha_{KK}$ の違いは $\phi$ またはKaonのmodificationの結果生じることが出来る。

→ **Questions**

# Questions

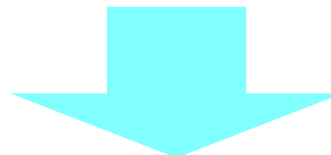
現在の $K^+K^-$  modificationのやり方では、 $\Gamma_{\text{tot}}$ 保存のため  
 $K^+K^-$  threshold以下の $\phi$ はthresholdを超えるまでmassを決  
め直し続けている



つまり、 $\phi \rightarrow K^+K^-$  suppressionの効果は無視している



しかし、原子核密度の下でのKaonのeffective-massを考  
慮に入れると、上述のような仮定を導入しなくて良くなる  
はずである



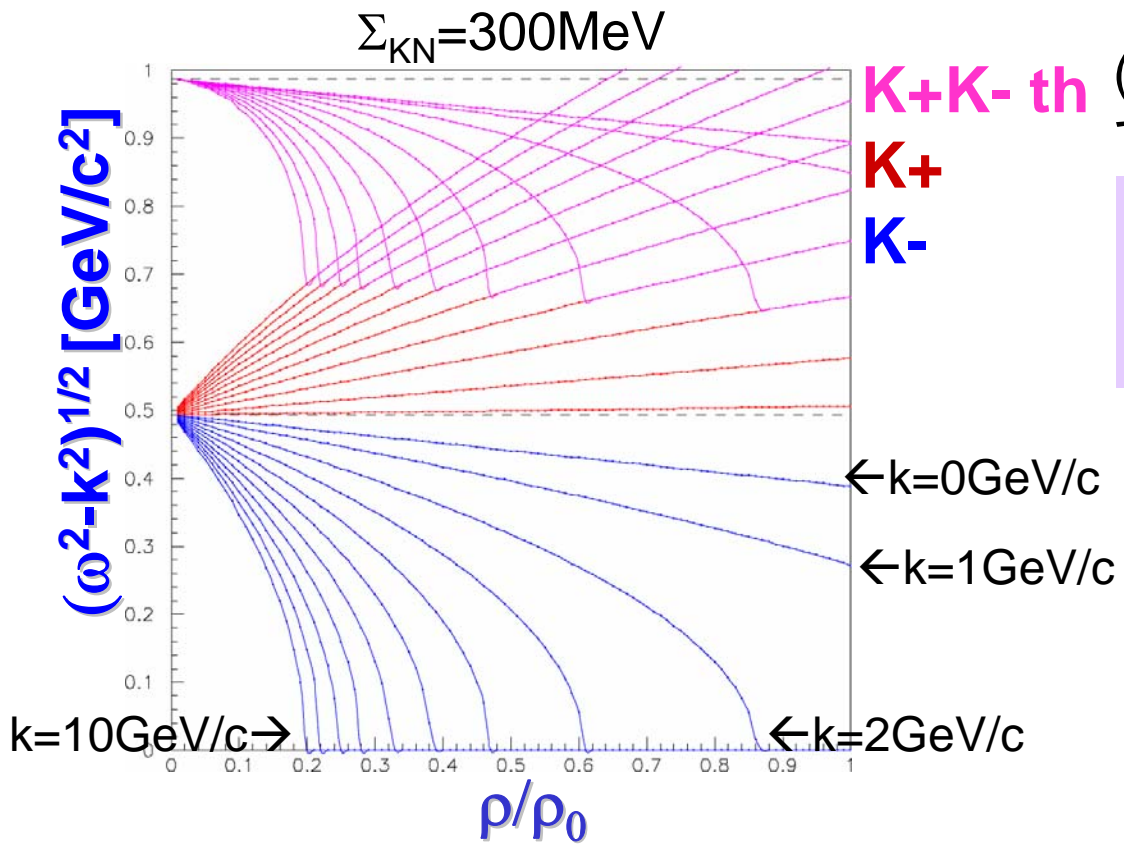
**Kaon Dispersion Relation (next page)**

# Questions

## Kaon Dispersion Relation

H.Fujii and T.Tatsumi, PTPS 120(1995)289.

$$\omega_{\pm} \left( \vec{k}^2 ; \rho_B \right) = \sqrt{m_K^2 + \vec{k}^2 - \frac{\Sigma_{KN}}{f^2} \rho_B + \left( \frac{3 \rho_B}{8 f^2} \right)^2 \pm \frac{3 \rho_B}{8 f^2}}$$



$(\omega^2 - k^2)^{1/2}$ を考えたとき、 $k > \sim 2\text{GeV}/c$ で0以下になってしまう

### Question 1

massを考えるときに $(\omega^2 - k^2)^{1/2}$ という考え方はまずいのか？

また、我々は簡単のため  
CM系でdecayを考えたい

### Question 2

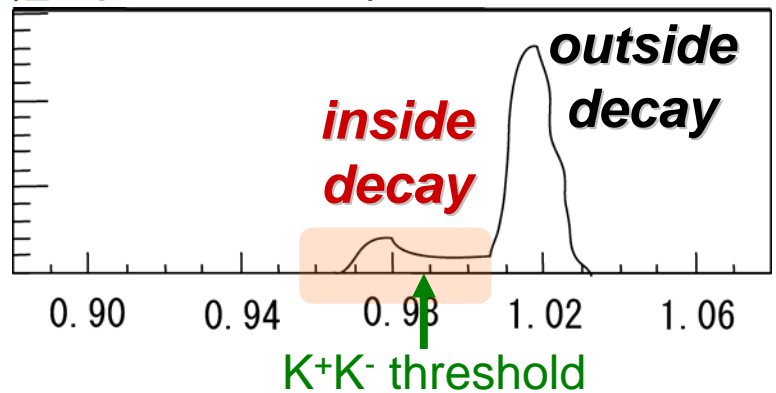
系を変える時はどうしたらよいのか？  
(LAB → CMなど)

# Questions

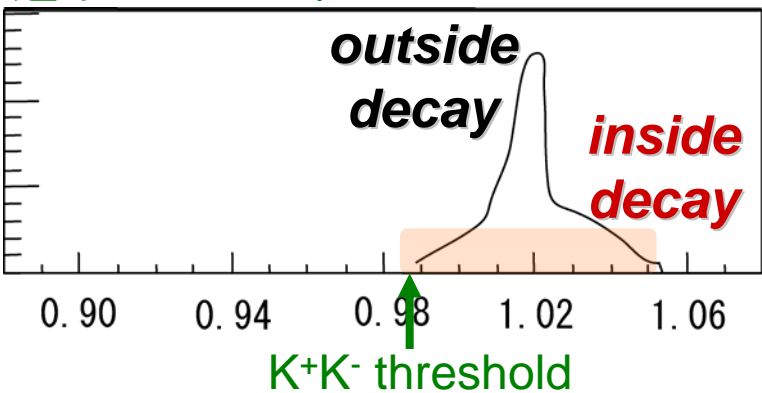
## 核内で軽くなったKaonが $\phi \rightarrow K^+K^-$ とdecayした後の、Kaonの振る舞い

- ①  $\phi \rightarrow K^+K^-$ において、Kaonが原子核内で軽くなったとする
- ② その後Kaonは原子核外へ出て行くのだが、その過程でmomentumが保存する(energyは保存しない)と仮定する
- ③ このとき、decay直後に軽くなったKaonで組んだinvariant-massと、核外で通常の質量を持つKaonで組んだinvariant-massは以下のようになる

軽くなった $K^+K^-$ で組んだinvariant-mass



通常の $K^+K^-$ で組んだinvariant-mass



### Question 3

Kaonが原子核密度の下で軽くなったとした時、この状態は原子核外へ飛んでいく間にどのように変化するのか？

### Last Question

$\alpha_{KK} > \alpha_{ee}$ となる物理は、 $\Gamma$ が変わるというstoryの他に何かありませんか？